

Povrchové plazmony v integrované fotonice

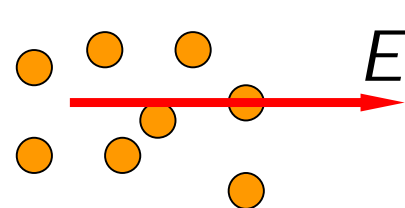
Povrchové plazmony v integrované fotonice

Typické aplikace:

1. vlnovodné polarizátory
2. SPR senzory
3. povrchové plazmony pro přenos informace („plazmonika“)

Permitivita kovu (Drudeho model)

„volný“ elektronový plyn v elektromagnetickém poli

m_e  E Pohybová rovnice: $-m_e \ddot{x} - m_e \gamma \dot{x} - eE = 0$

Pro harmonické pole $E = E_0 \exp(-i\omega t)$

získáme ustálené řešení: $x_0 = \frac{-eE_0}{m_e \omega^2 + im_e \gamma \omega}$

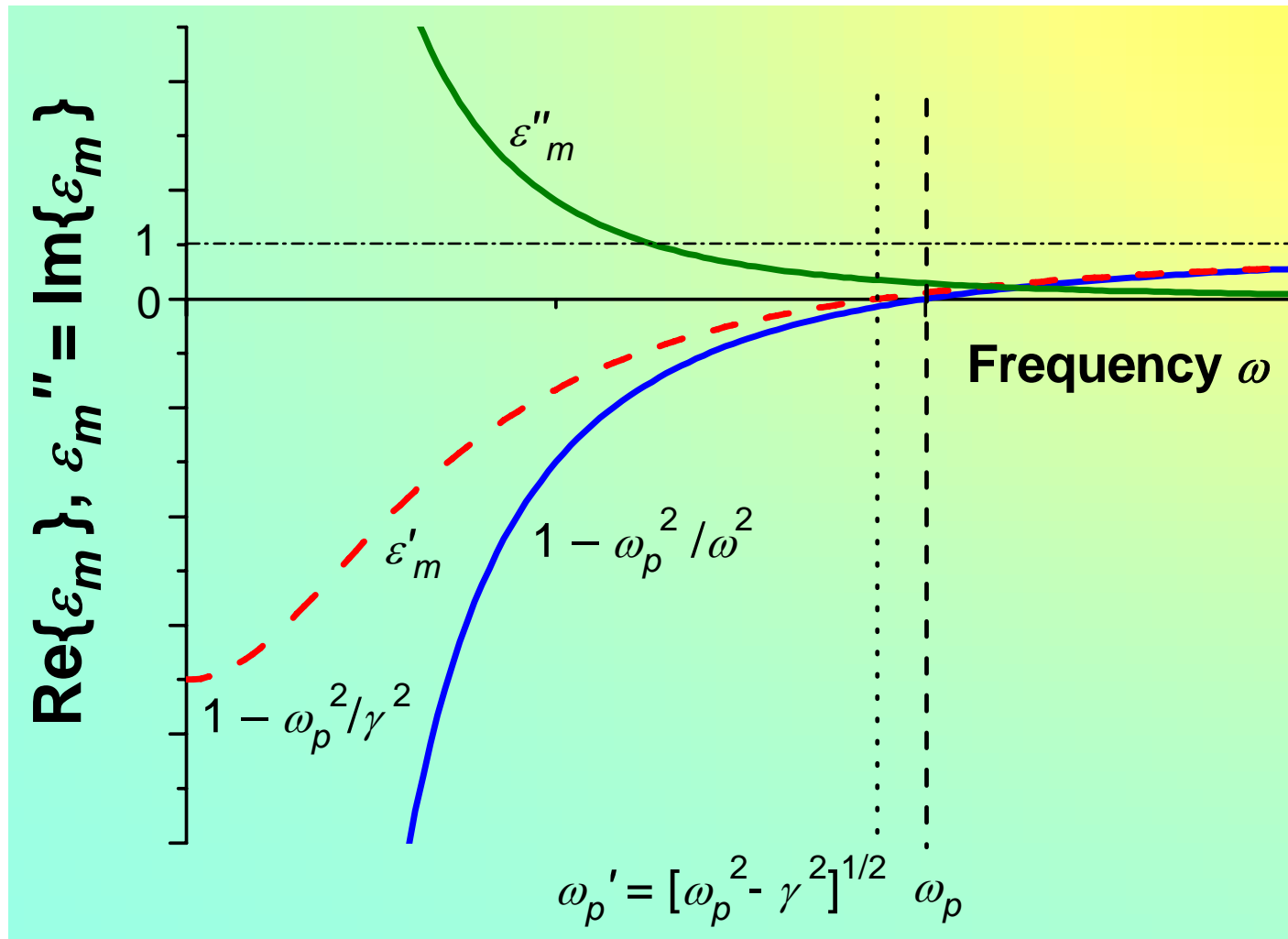
Polarizace: $P_0 = -n_e e x_0 = \frac{-e^2 n_e}{m_e \omega^2 + im_e \gamma \omega} E_0 = \epsilon_0 \chi E_0$

Permitivita: $\epsilon_m = 1 + \chi = 1 - \frac{e^2 n_e / (m_e \epsilon_0)}{\omega^2 + i\gamma \omega} = 1 - \frac{\omega_p^2}{\omega^2 + i\gamma \omega}$

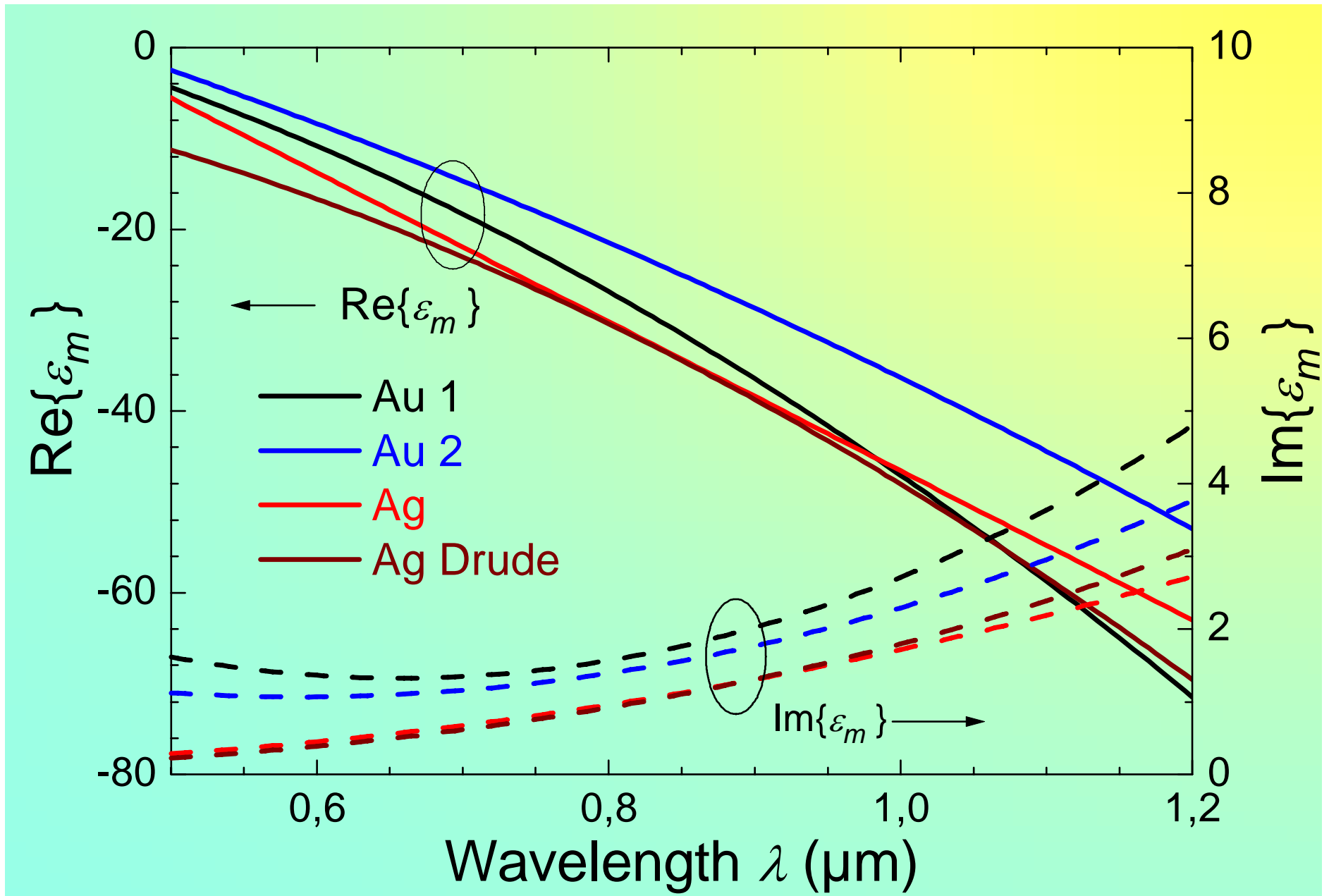
Plazmová frekvence $\omega_p = e \sqrt{\frac{n_e}{m_e \epsilon_0}}$

Disperze kovu (Drudeho model)

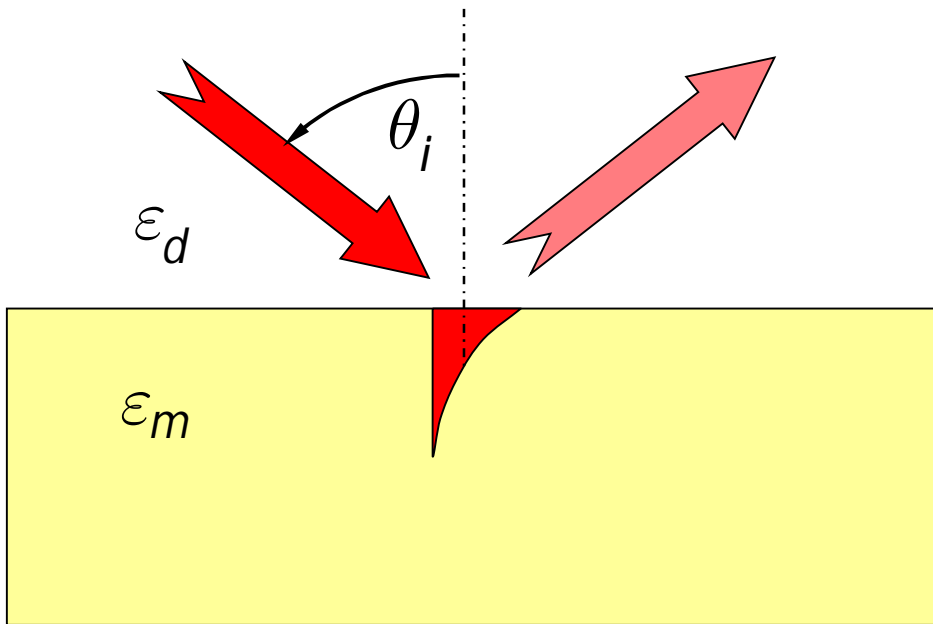
$$\varepsilon_m = \varepsilon'_m + i\varepsilon''_m = 1 - \frac{\omega_p^2}{\omega^2 + \gamma^2} + i \frac{\omega_p^2 \gamma}{\omega(\omega^2 + \gamma^2)}$$



Disperze kovu (experimentální data)



Odraz optického záření od rozhraní s kovem



$$R^{TE} = \frac{\sqrt{\varepsilon_d - N^2} - \sqrt{\varepsilon_m - N^2}}{\sqrt{\varepsilon_d - N^2} + \sqrt{\varepsilon_m - N^2}}$$

$$R^{TM} = \frac{\frac{\sqrt{\varepsilon_d - N^2}}{\varepsilon_m} - \frac{\sqrt{\varepsilon_m - N^2}}{\varepsilon_d}}{\frac{\sqrt{\varepsilon_d - N^2}}{\varepsilon_m} + \frac{\sqrt{\varepsilon_m - N^2}}{\varepsilon_d}}$$

$$N = \sqrt{\varepsilon_d} \sin \theta_i$$

Pro **reálná** $\varepsilon_m < 0$,

$$\sqrt{\varepsilon_m - N^2} = i\sqrt{N^2 - \varepsilon_m}$$

$$\text{and } |R^{TE}| = |R^{TM}| = 1.$$

Pro **komplexní** ε_m ,

$$|R^{TE}| < 1, \quad |R^{TM}| < 1.$$

Povrchová plazmová vlna (povrchový plazmon-polariton, povrchový plazmon)

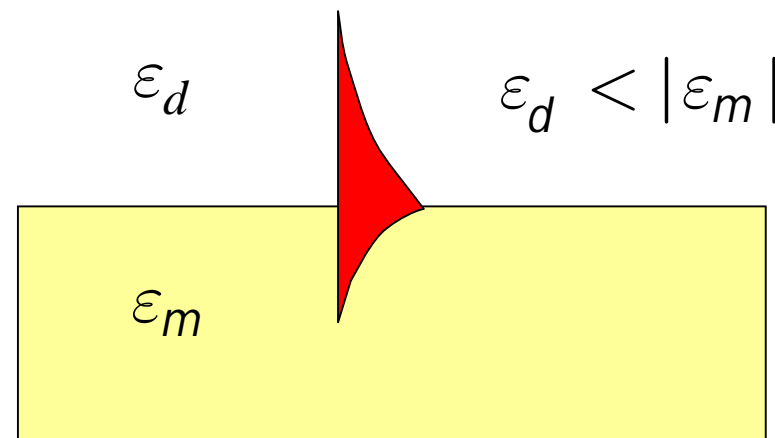
Vzájemně vázaná elektromagnetická a nábojová povrchová vlna
localizovaná na rozhraní mezi dielektrikem a kovem

Pól $R(N^2) \Rightarrow N^2$ povrchové vlny

TE: $\sqrt{\epsilon_d - N^2} + \sqrt{\epsilon_m - N^2} = 0$ neexistuje řešení

TM: $\epsilon_m \sqrt{\epsilon_d - N^2} + \epsilon_d \sqrt{\epsilon_m - N^2} = 0$ povrchový plazmon

$$N_{SP} = \sqrt{\frac{\epsilon_d \epsilon_m}{\epsilon_d + \epsilon_m}}$$

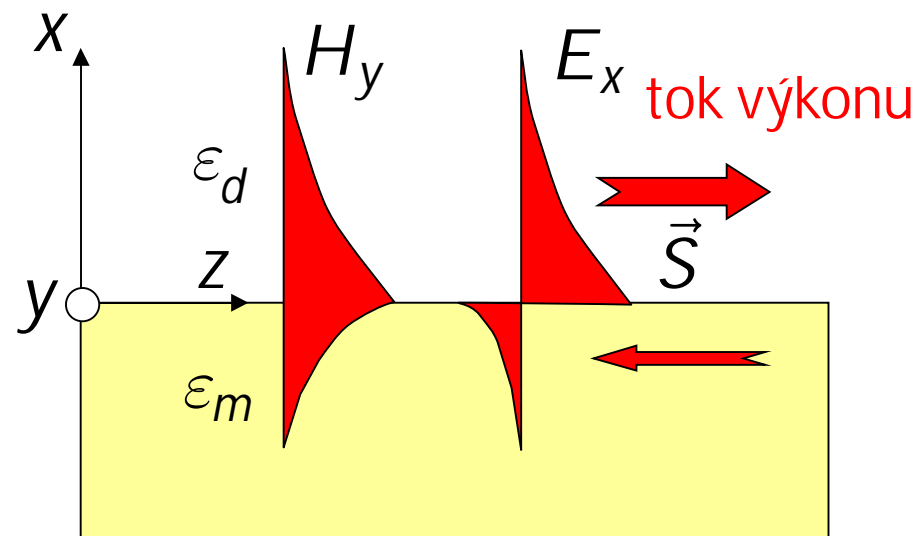


Rozložení pole povrchového plazmonu

$$H_y(x, z) = H_0 e^{ik_0 N z} \begin{cases} e^{-k_0 \sqrt{N^2 - \epsilon_d} x}, & x > 0 \\ e^{k_0 \sqrt{N^2 - \epsilon_m} x}, & x < 0 \end{cases} \quad \begin{aligned} 1/k_0 \sqrt{N^2 - \epsilon_d} &= 265 \text{ nm} \\ 1/k_0 \sqrt{N^2 - \epsilon_m} &= 26 \text{ nm} \end{aligned}$$

$$E_x(x, z) = Z_0 N H_0 e^{ik_0 N z} \begin{cases} \frac{1}{\epsilon_d} e^{-k_0 \sqrt{N^2 - \epsilon_d} x}, & x > 0 \\ \frac{1}{\epsilon_m} e^{k_0 \sqrt{N^2 - \epsilon_m} x}, & x < 0 \end{cases}$$

Pro $\gamma = 0$, $\text{Im}\{N\} = 0$



Uvažujme *reálné* rozhraní zlato-vzduch a vlnovou délkou záření 1 μm .

$$\epsilon_{Au} = -115.13 + 10.742i, \quad \epsilon_{air} = 1.0; \quad \text{Pak}$$

$$H = y^0 H, \quad H = H_0 e^{ik_0(px + Nz)};$$

$$N = \sqrt{\frac{\epsilon_{air}\epsilon_{Au}}{\epsilon_{air} + \epsilon_{Au}}} = 1.00433 + 4.2627 \times 10^{-5}i.$$

$$p_{air} = \sqrt{\epsilon_{air} - N^2} = -0.004381 + 0.09330i;$$

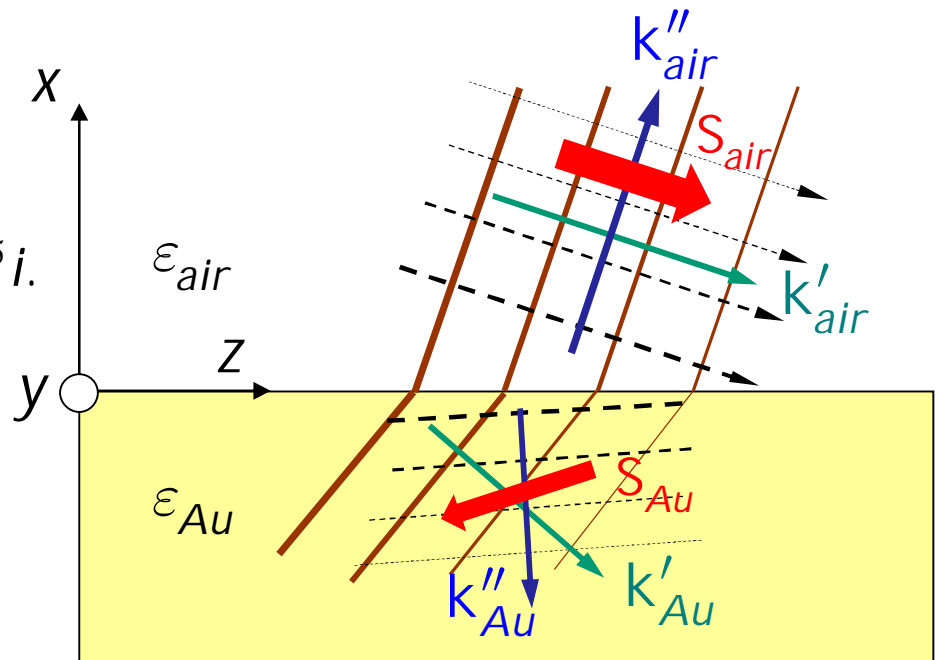
$$p_{Au} = \sqrt{\epsilon_{Au} - N^2} = -0.49782 - 10.78826i;$$

$$E = \frac{Z_0 H_0}{\epsilon_m} e^{ik_0(px + Nz)} (Nx^0 - pz^0);$$

$$S = \frac{1}{2} \text{Re}\{E \times H^*\} = \frac{1}{2} \text{Re}\{E\} \times y^0 =$$

$$= \frac{Z_0 |H_0|^2}{2} \text{Re}\left\{\frac{1}{\epsilon} (Nx^0 - pz^0)\right\} \times y^0;$$

$$S_{Au} = \frac{Z_0 |H|^2}{2} \text{Re}\left\{\frac{1}{\epsilon_{Au}} (p_{Au}x^0 + Nz^0)\right\} = \frac{Z_0 |H|^2}{2} (-0.004381x^0 - 0.0086478z^0)$$



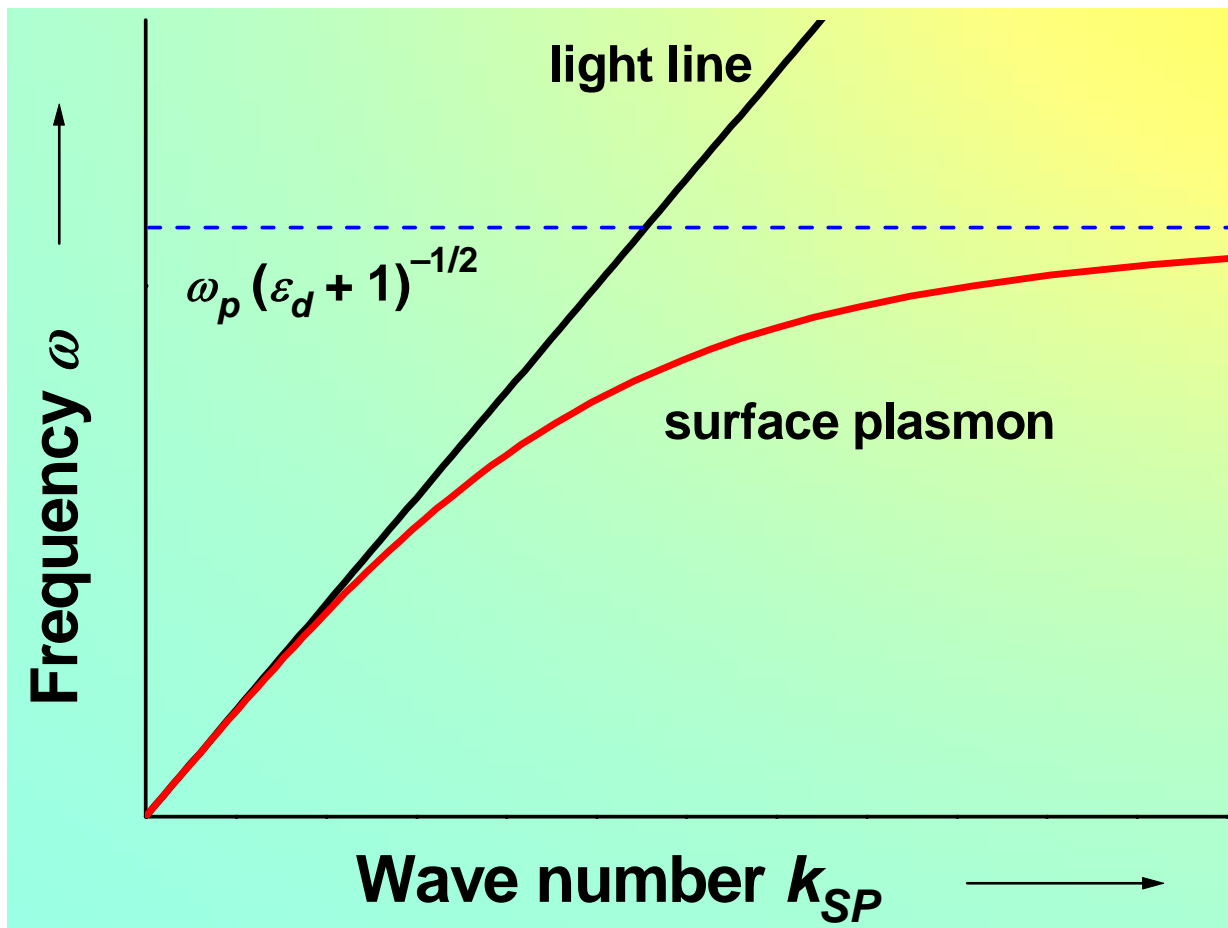
Ve ztrátovém prostředí se tok výkonu (Poyntingův vektor) *nešíří rovnoběžně s reálnou částí vlnového vektoru!!!*

Sklon S_{air} vůči rozhraní je jen asi $0,25^\circ$, sklon S_{Au} je asi 27° . Musí rovněž platit $S_{air,x} = S_{Au,x}$.

Disperzní vlastnosti povrchového plazmonu

Pro $\gamma = 0$, $\omega < \omega_p / \sqrt{(\epsilon_d + 1)}$

$$k_{SP} = \frac{\omega}{c} N_{SP} = \underbrace{\frac{\omega n_d}{c}}_{\text{"light line"}} \underbrace{\sqrt{\frac{\omega_p^2 - \omega^2}{\omega_p^2 - \omega^2 (\epsilon_d + 1)}}}_{\text{faktor } < 1}$$



faktor < 1

$$\text{Re}\{N_{SP}\} > n_d \Rightarrow$$

PP je **pomalá vlna**

nemůže být excitována
zářením z dielektrika

Vidy vlnovodů s PP

Metoda příčné rezonance

i. vrstevnatá struktura – metoda přenosových matic

$$\begin{pmatrix} H_{y,j}(\pm d_j) \\ -iE_{z,j}(\pm d_j) \end{pmatrix} = \begin{pmatrix} \cos \gamma_j d_j & \pm (\varepsilon_j / \gamma_j) \sin \gamma_j d_j \\ \mp (\gamma_j / \varepsilon_j) \sin \gamma_j d_j & \cos \gamma_j d_j \end{pmatrix} \cdot \begin{pmatrix} H_{y,j}(0) \\ -iE_{z,j}(0) \end{pmatrix}$$

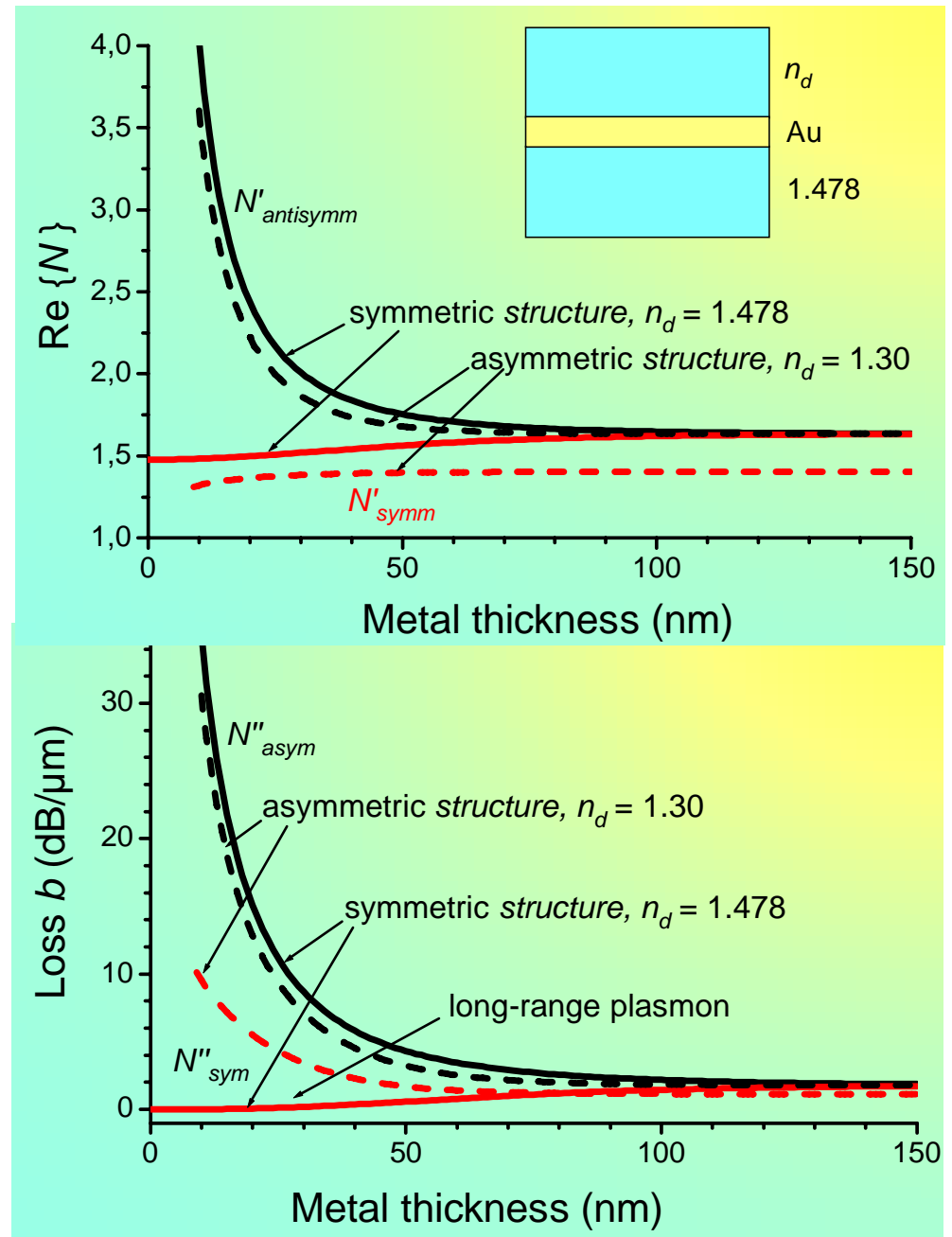
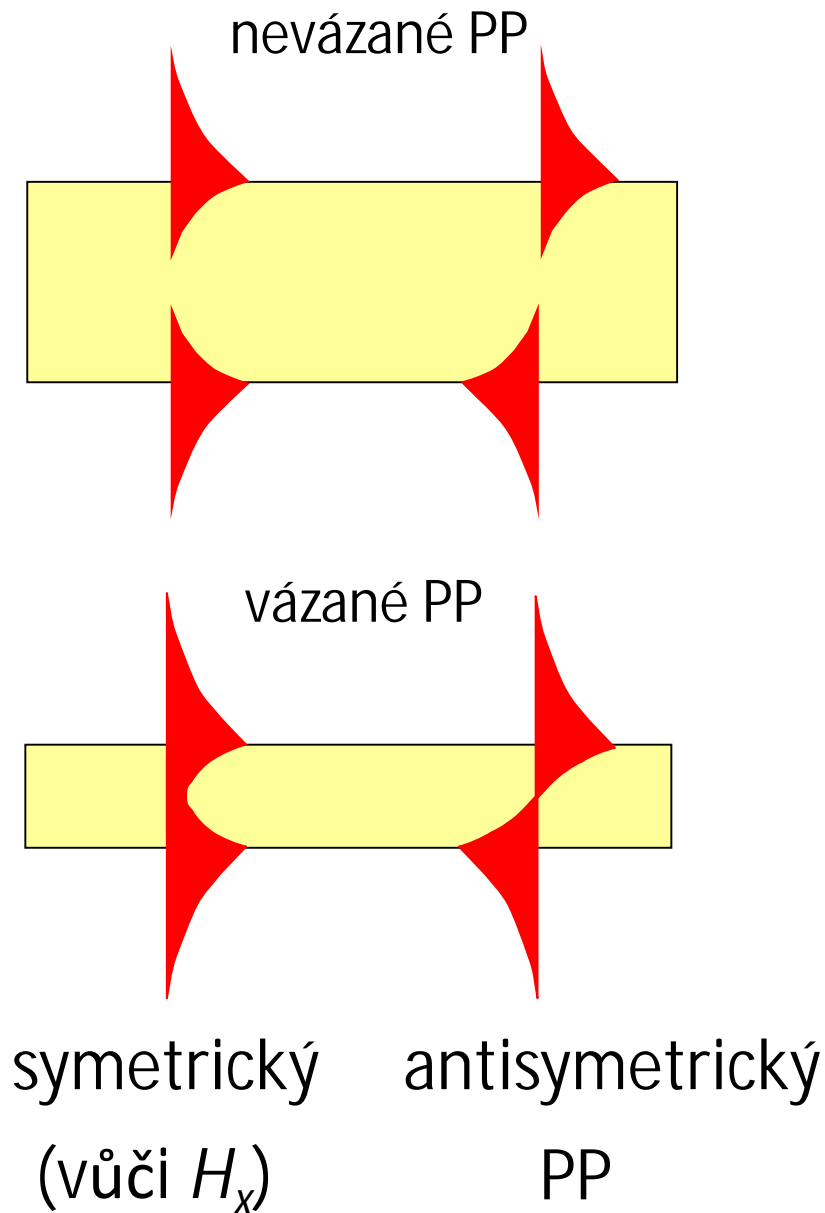
$$\gamma_j = k_0 \sqrt{\varepsilon_j - N^2}$$

ii. difúzní vlnovody: metoda příčné immitance
(Riccatiho rovnice, integrace metodou Rungeho a Kutty)

$$\frac{1}{k_0} \frac{dv}{dx} = -\frac{\varepsilon(x) - N^2}{\varepsilon(x)} - v^2 \quad v(x) = \frac{1}{k_0 \varepsilon(x)} \frac{1}{H_y(x)} \frac{dH_y}{dx} = -i \sqrt{\frac{\varepsilon_0}{\mu_0}} \frac{E_z(x)}{H_y(x)}$$

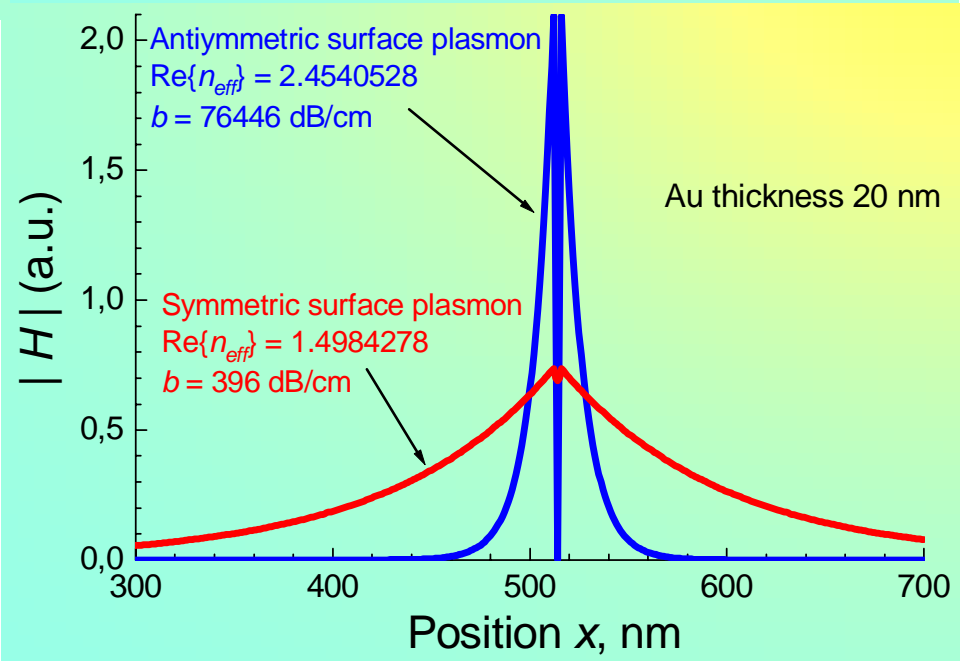
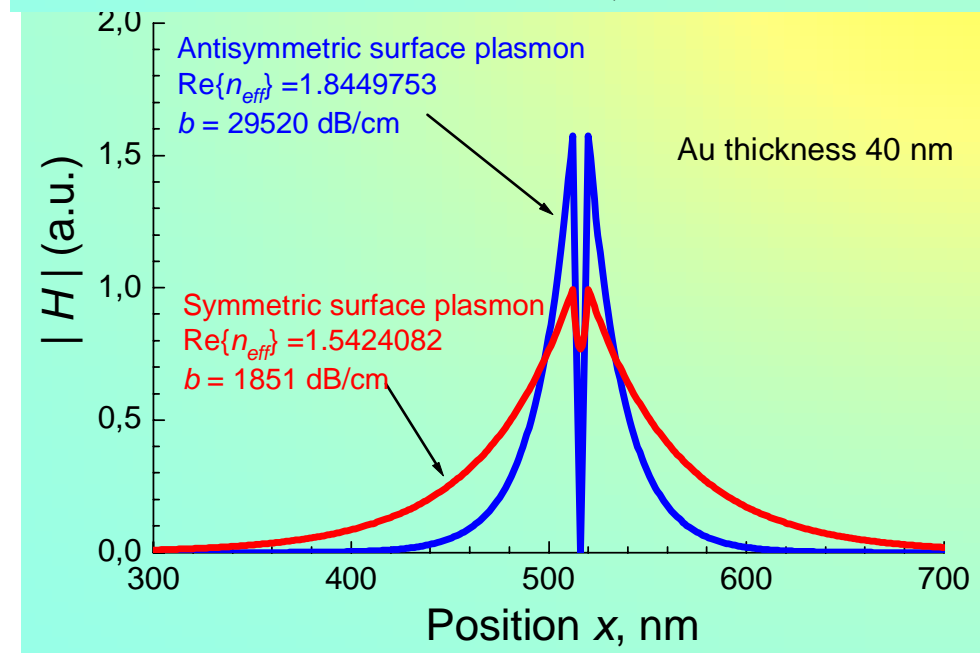
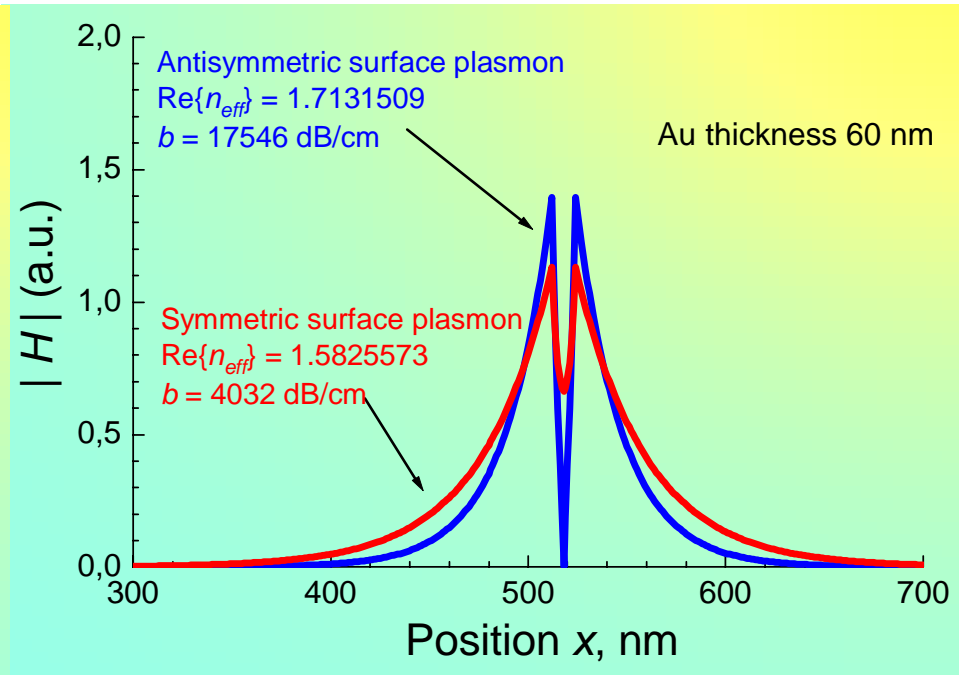
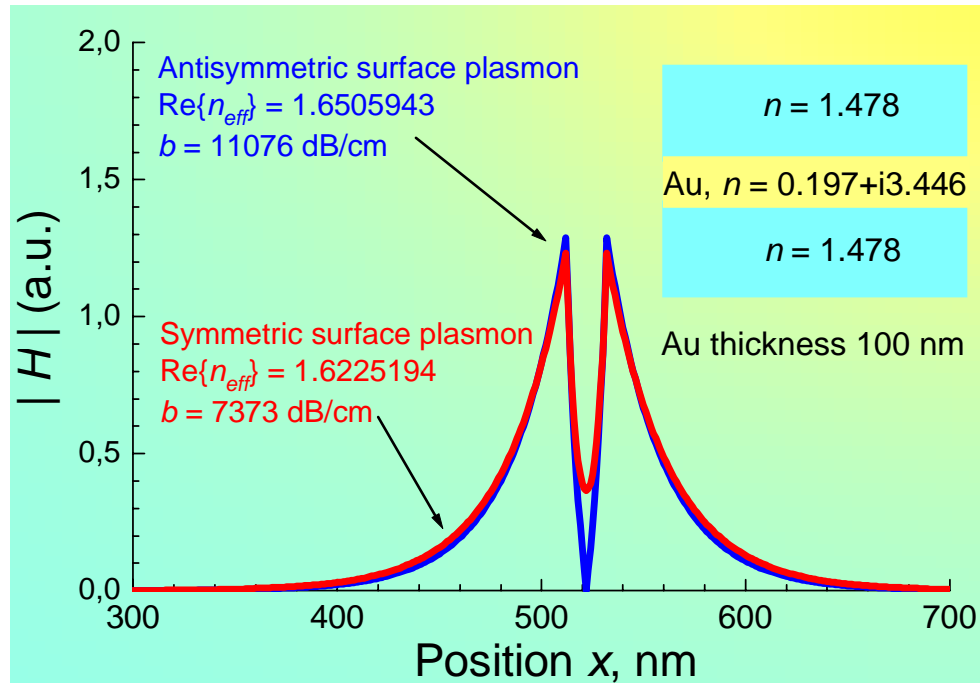
$$\frac{1}{k_0} \frac{dH_y}{dx} = v(x) \varepsilon(x) H_y \quad \text{normovaná příčná impedance}$$

Povrchové plazmony na kovové vrstvě



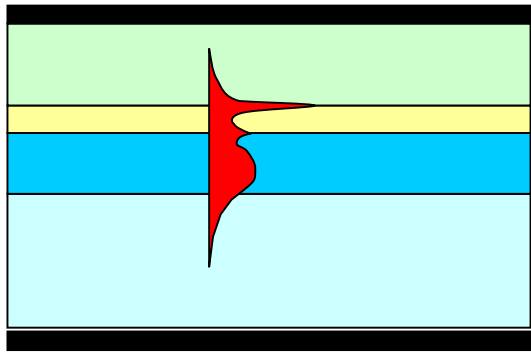
Rozložení polí PP na kovových vrstvách

Závislost na tloušťce kovové vrstvy

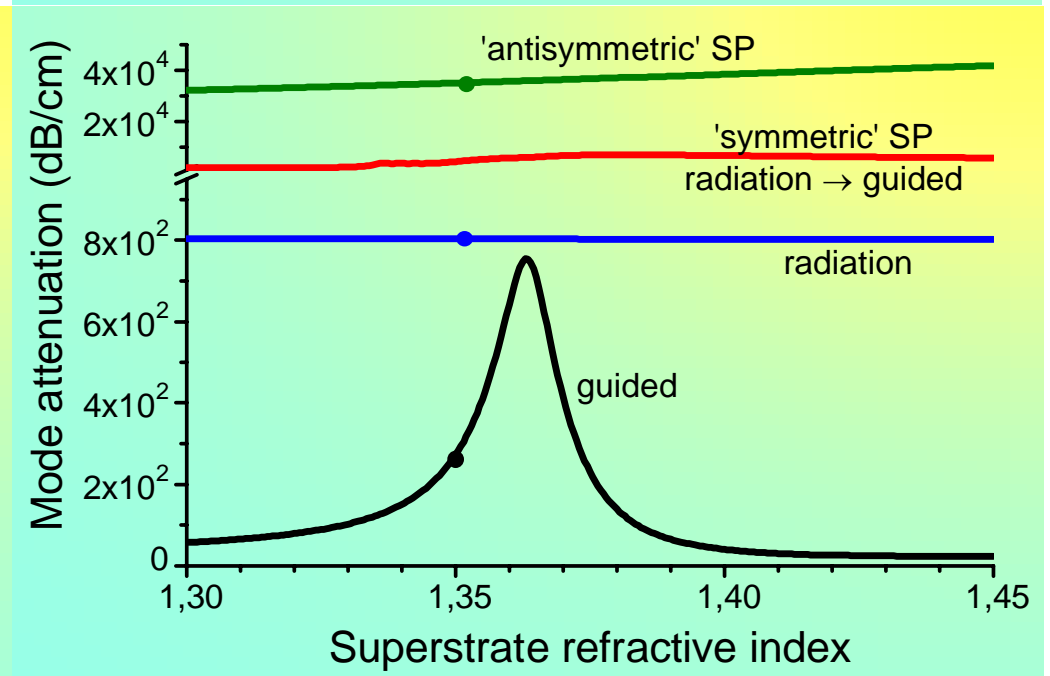
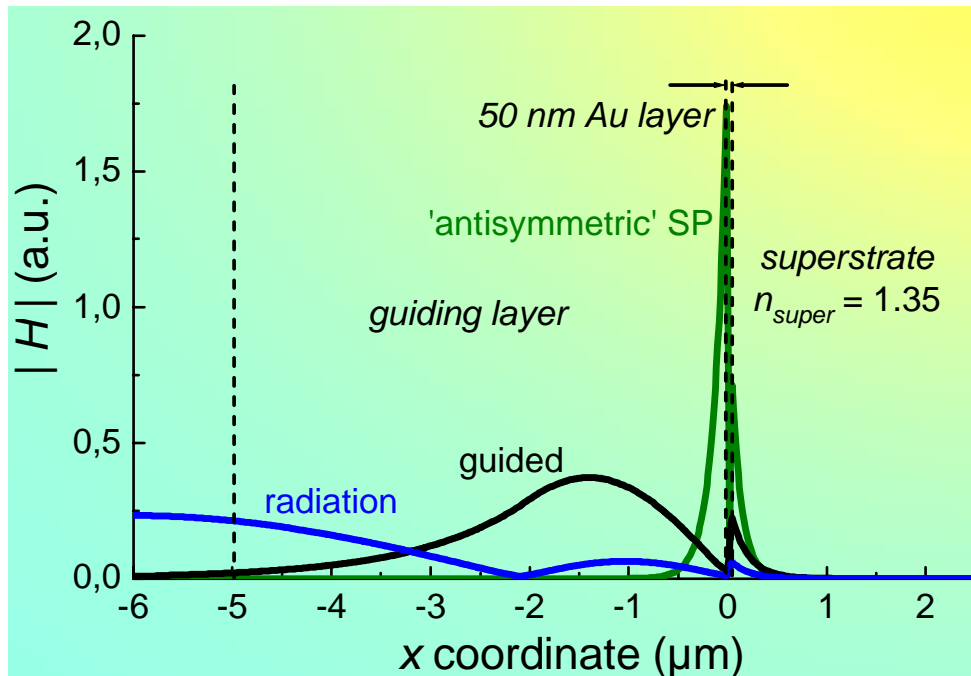
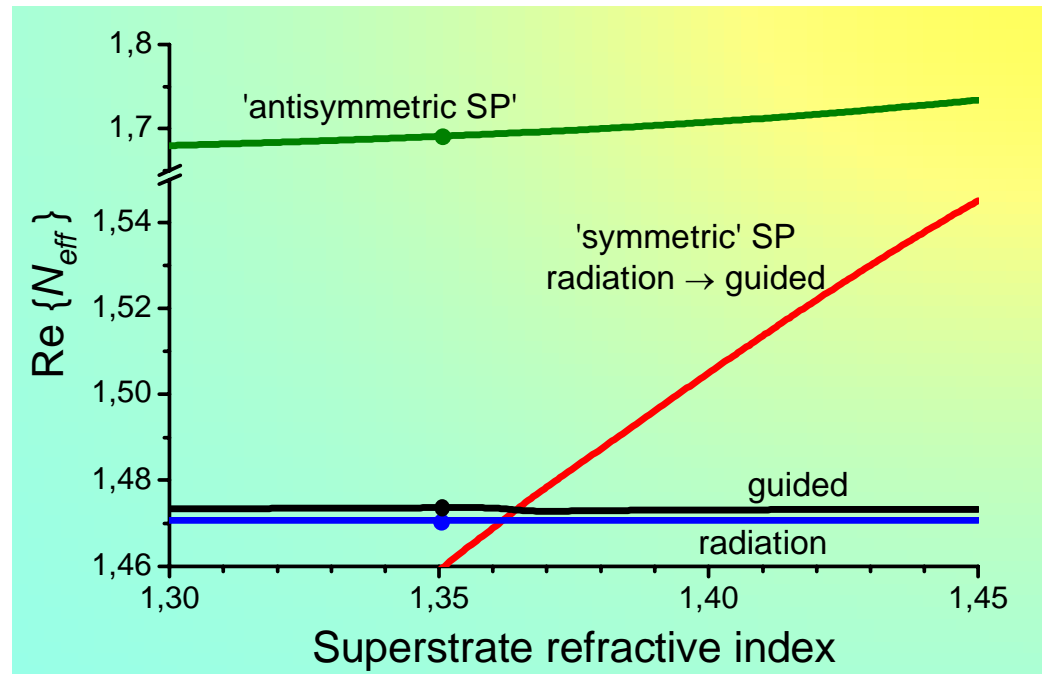


Vidy planárních vlnovodů s kovovou vrstvou

1.

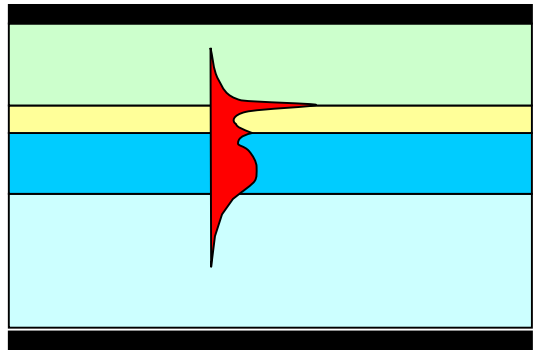


$$d_{Au} = 50 \text{ nm}$$

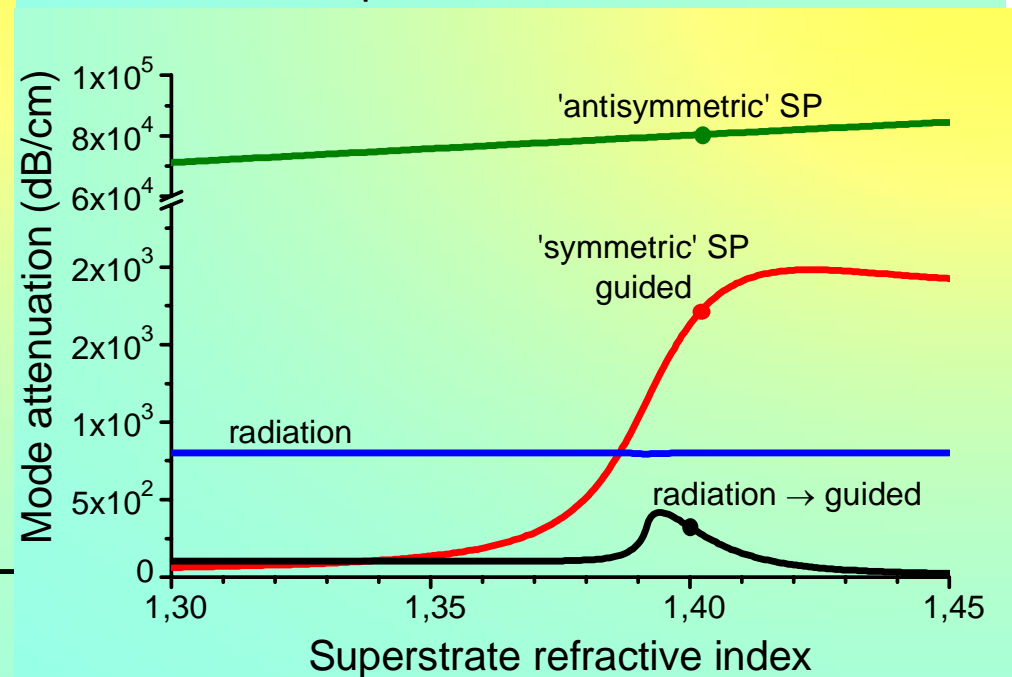
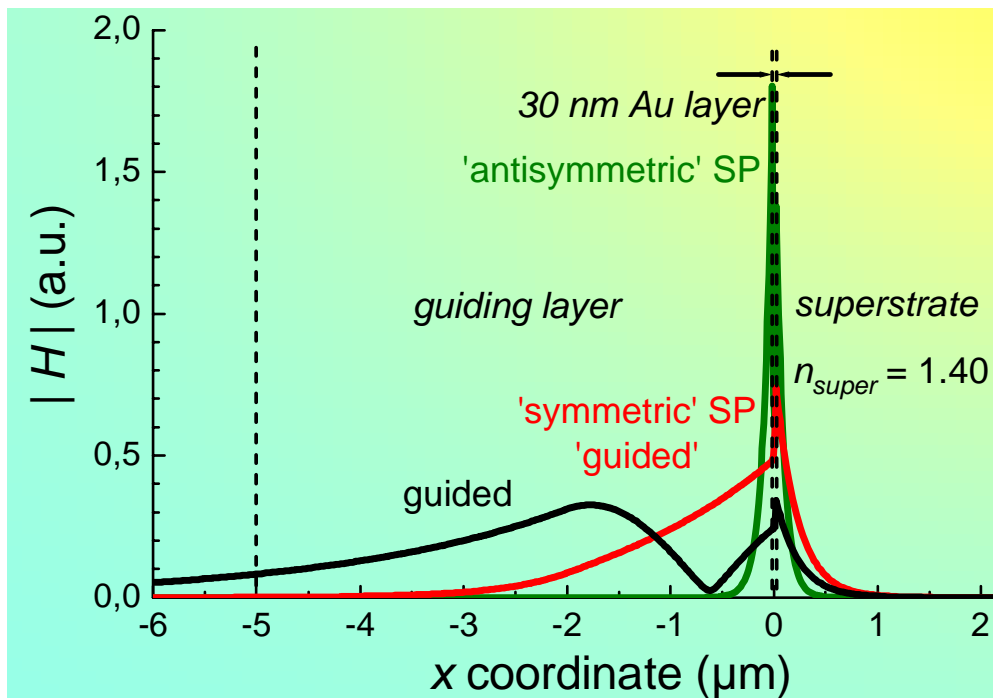
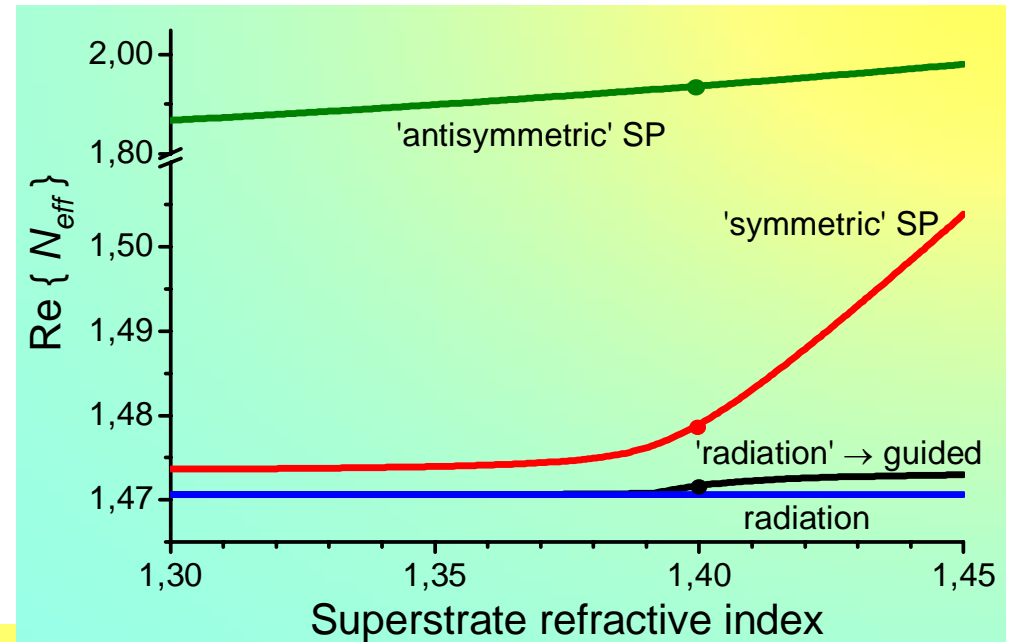


Vidy planárních vlnovodů s kovovou vrstvou

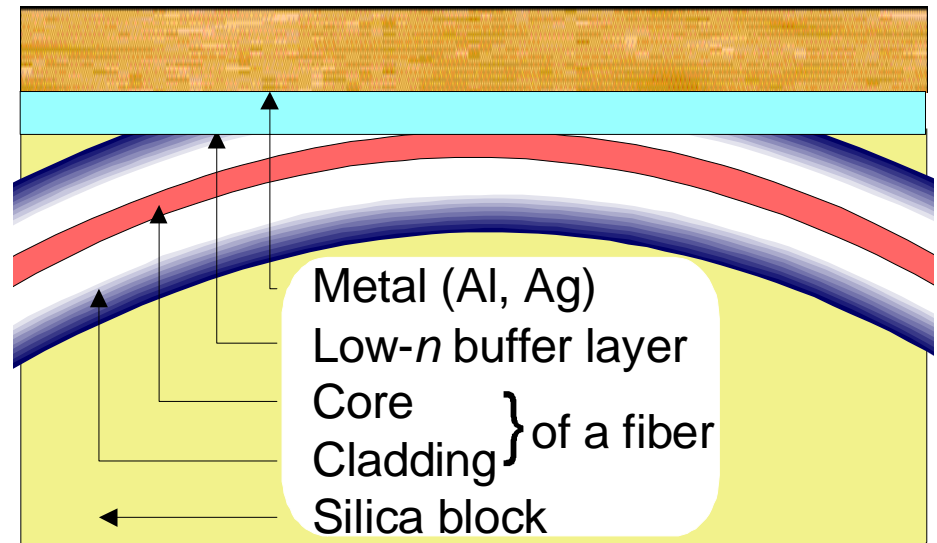
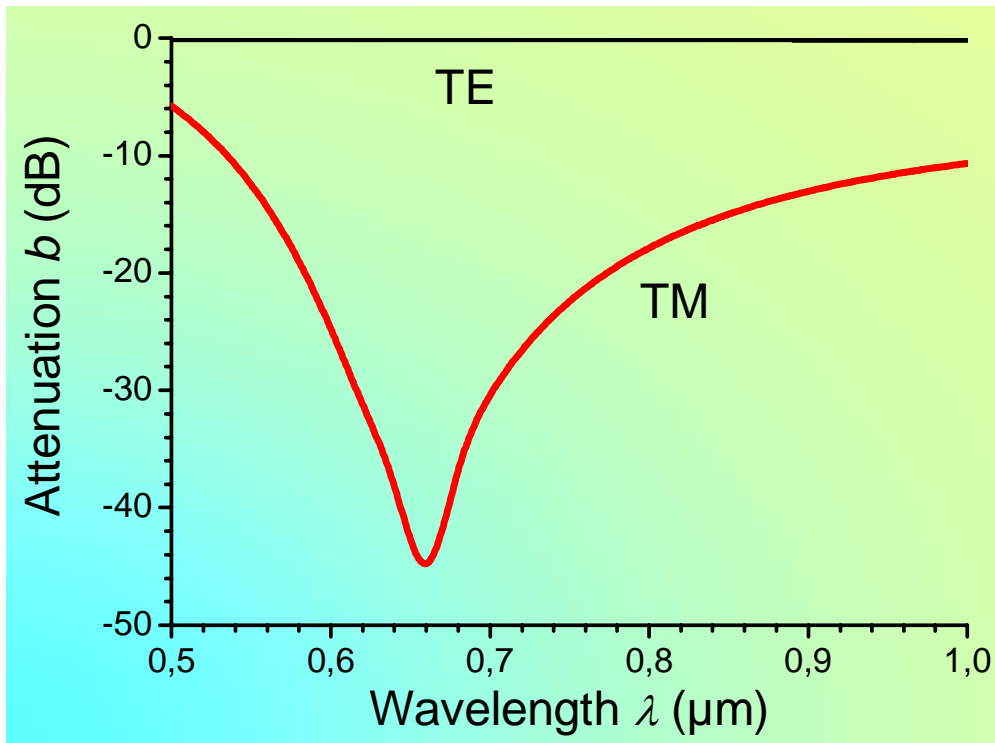
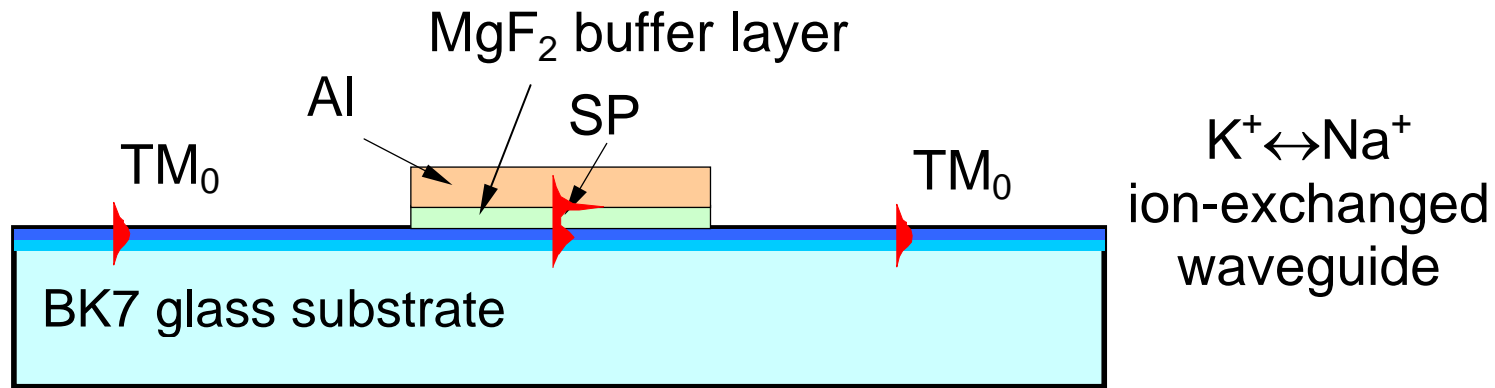
2.



$$d_{Au} = 30 \text{ nm}$$



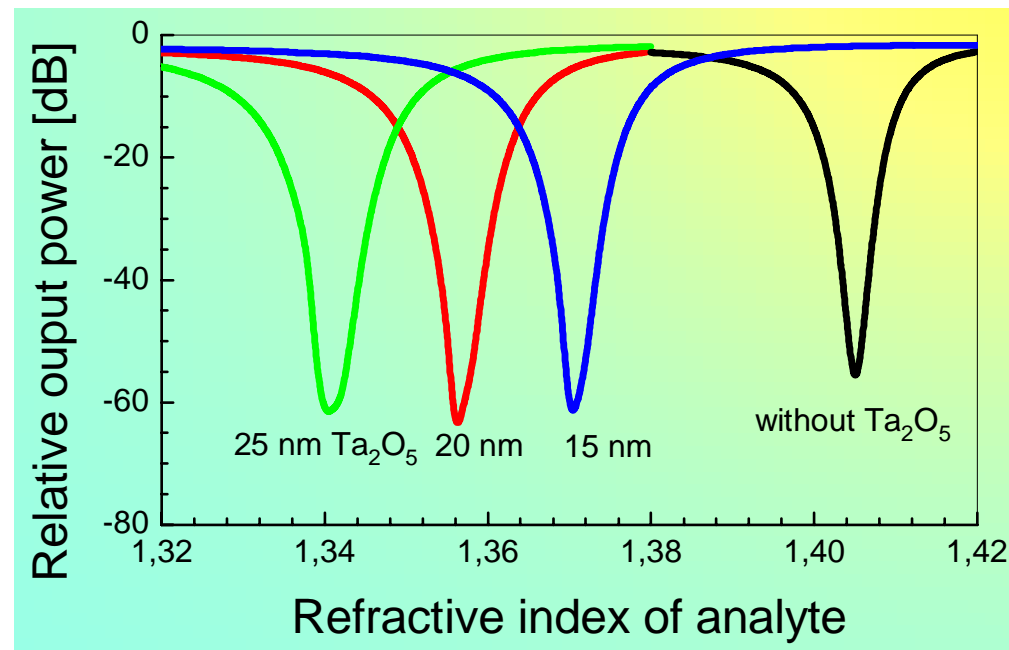
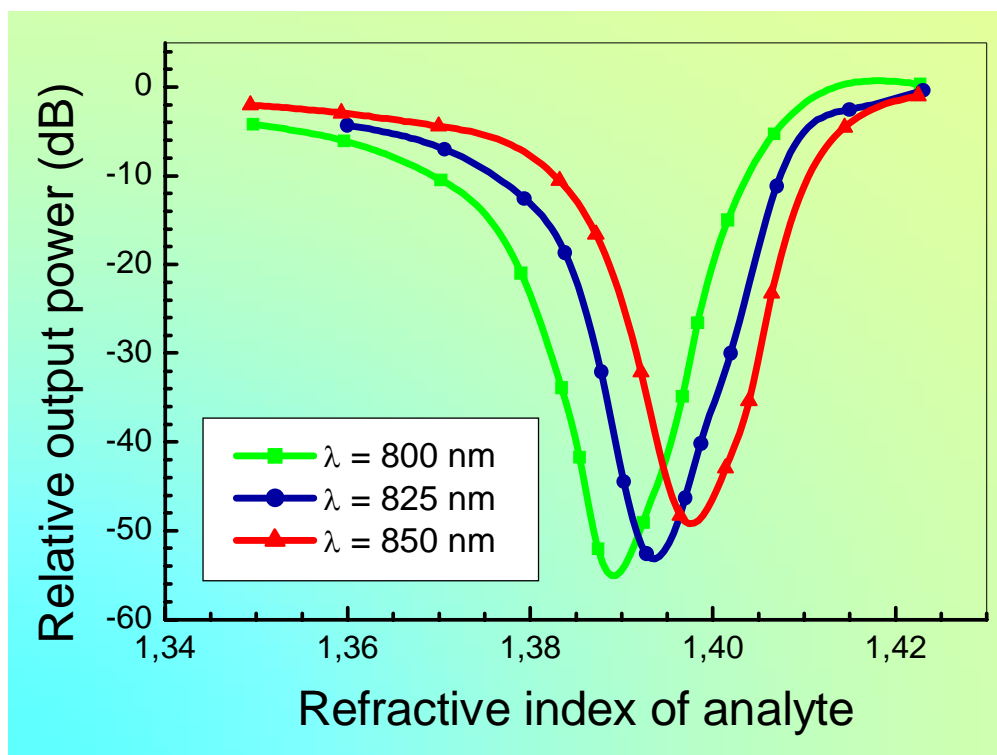
Vlnodný polarizátor založený na rezonanční excitaci PP



Průchod optického záření senzorem s PP

1. závislost na indexu lomu analytu (zkoumaného prostředí)

2D (planární) model

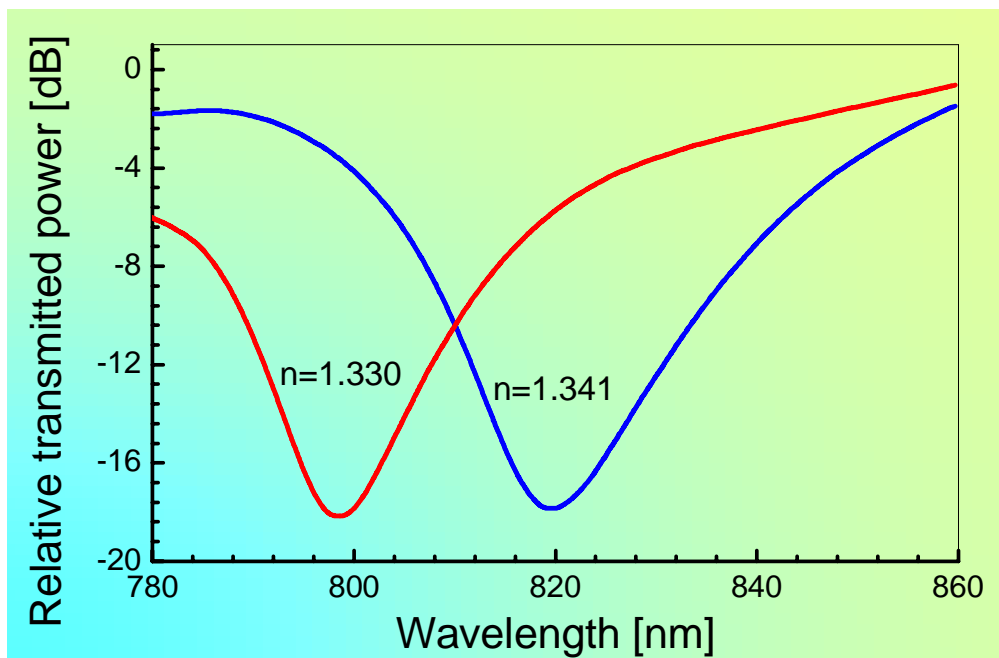
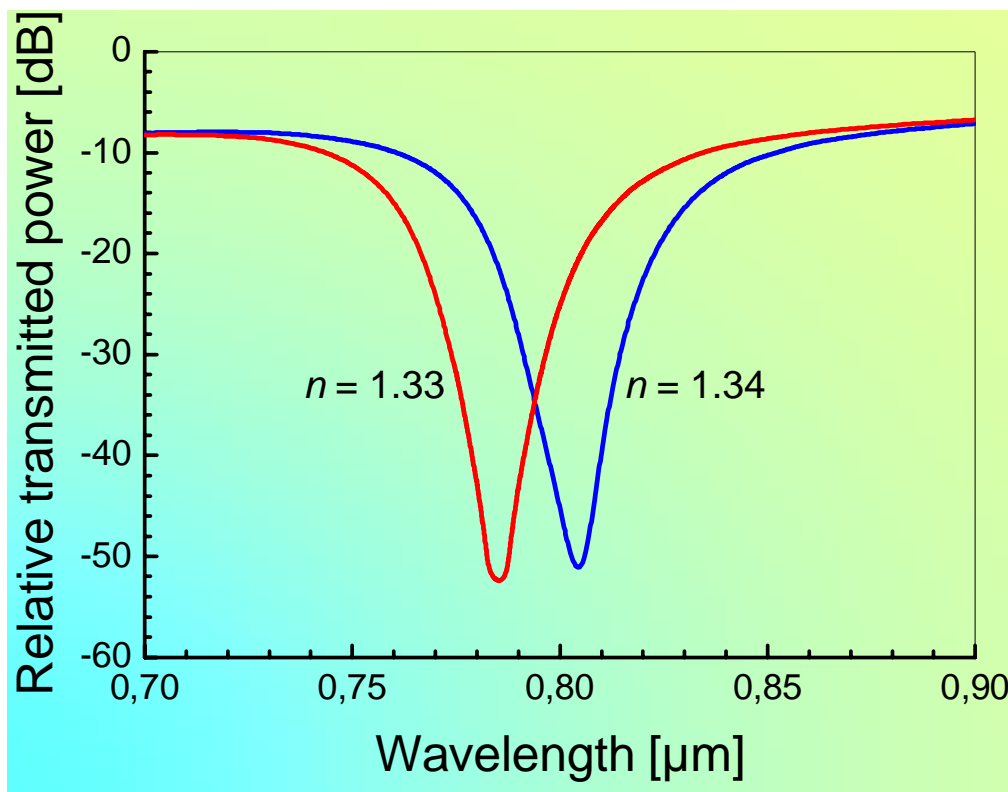


měření laditelným
Ti:safírovým laserem

Průchod optického záření IO senzorem s PP

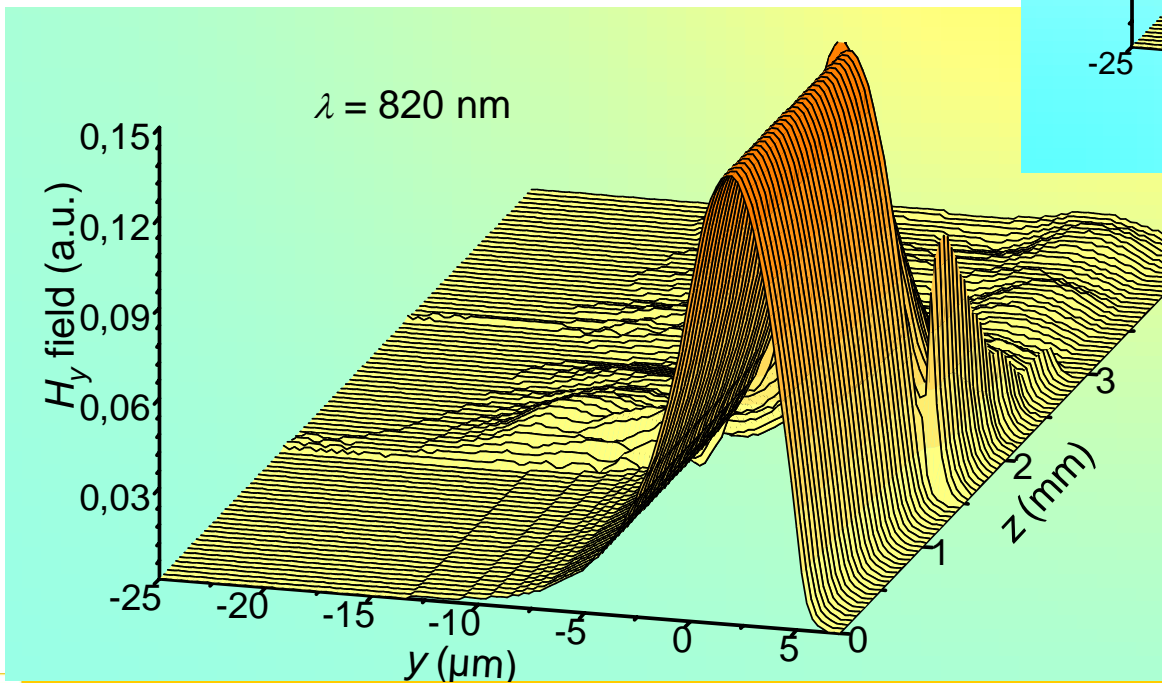
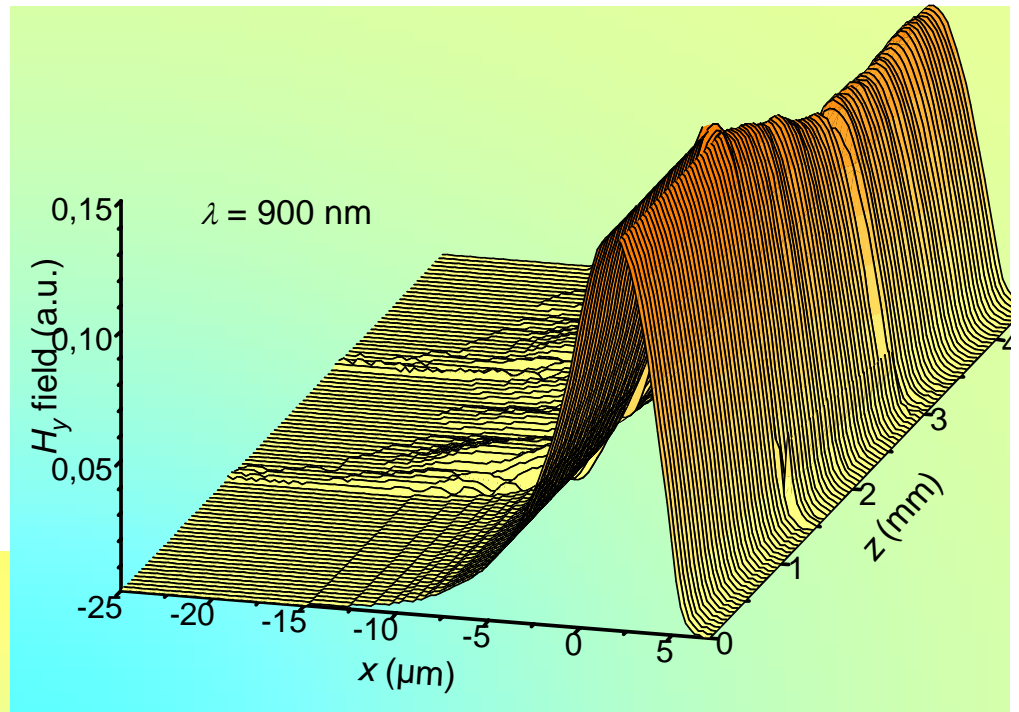
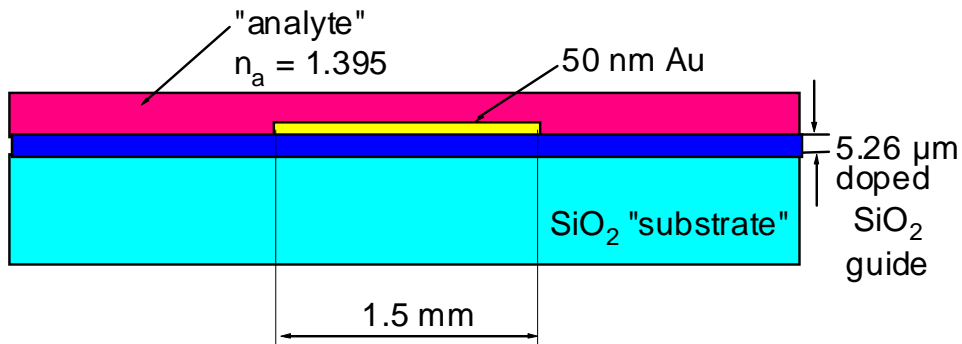
2. spektrální závislost

2D (planární) model

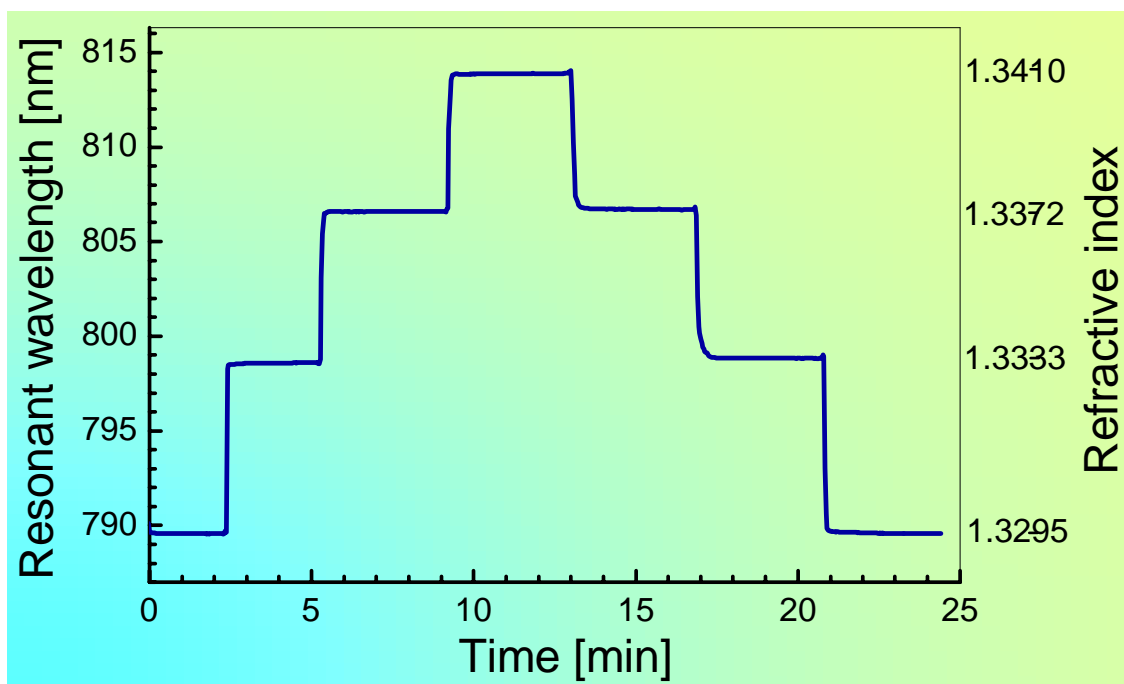
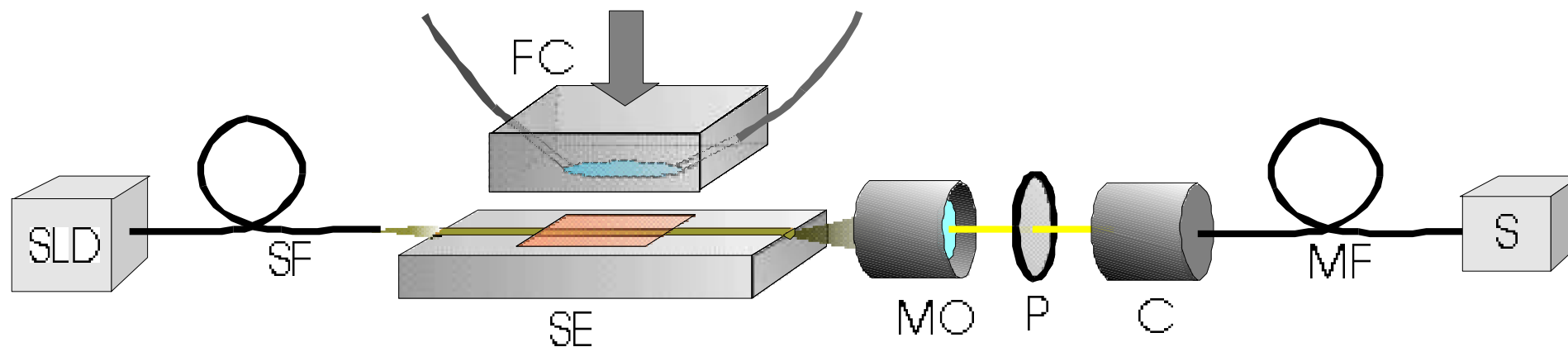


měřeno s širokopásmovou
SLD a spektrálním analyzátozem

Rozložení optického záření ve vlnovodu s úsekem, na němž se může šířit PP

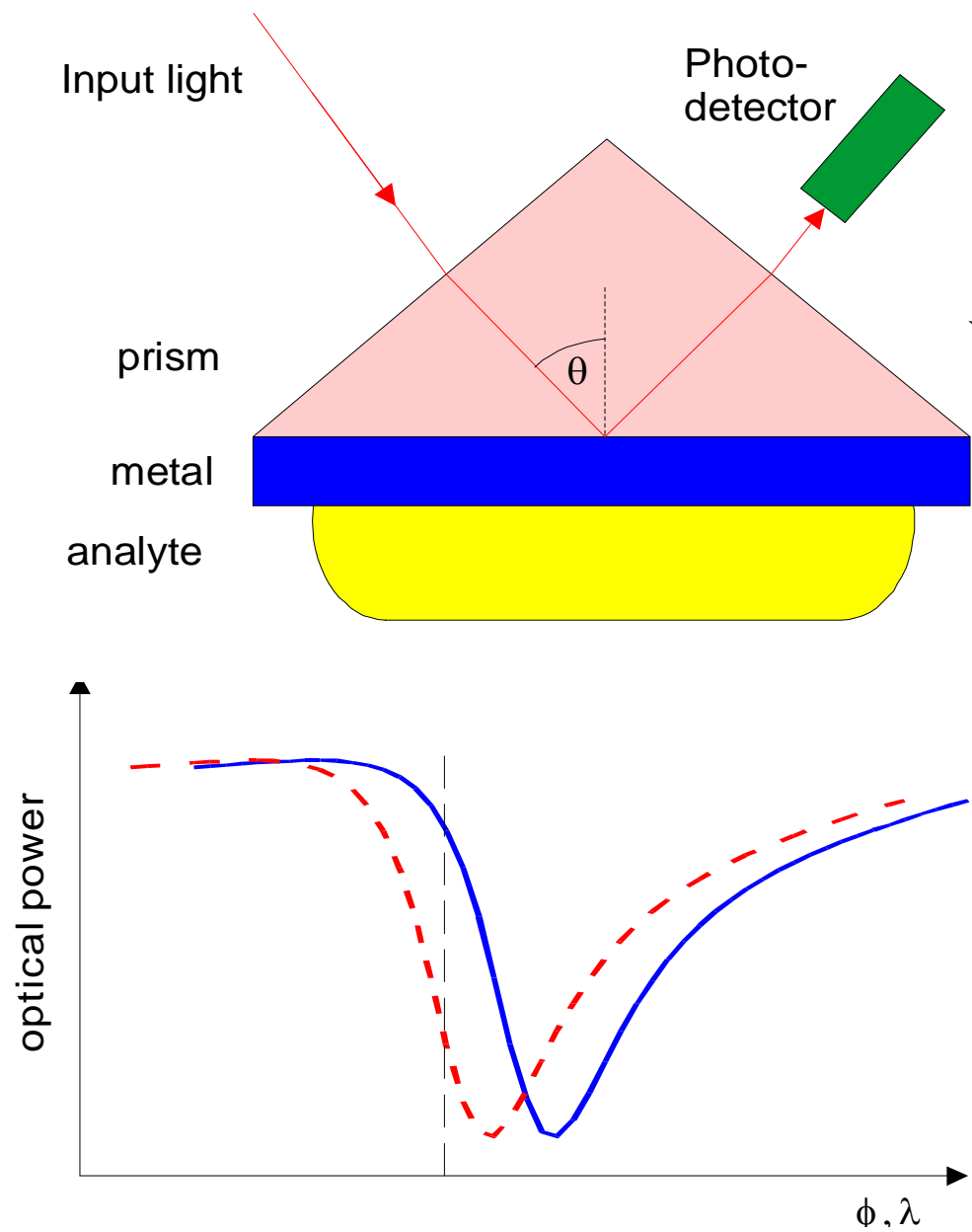


Experimentální uspořádání integrovaně-optického senzoru s PP

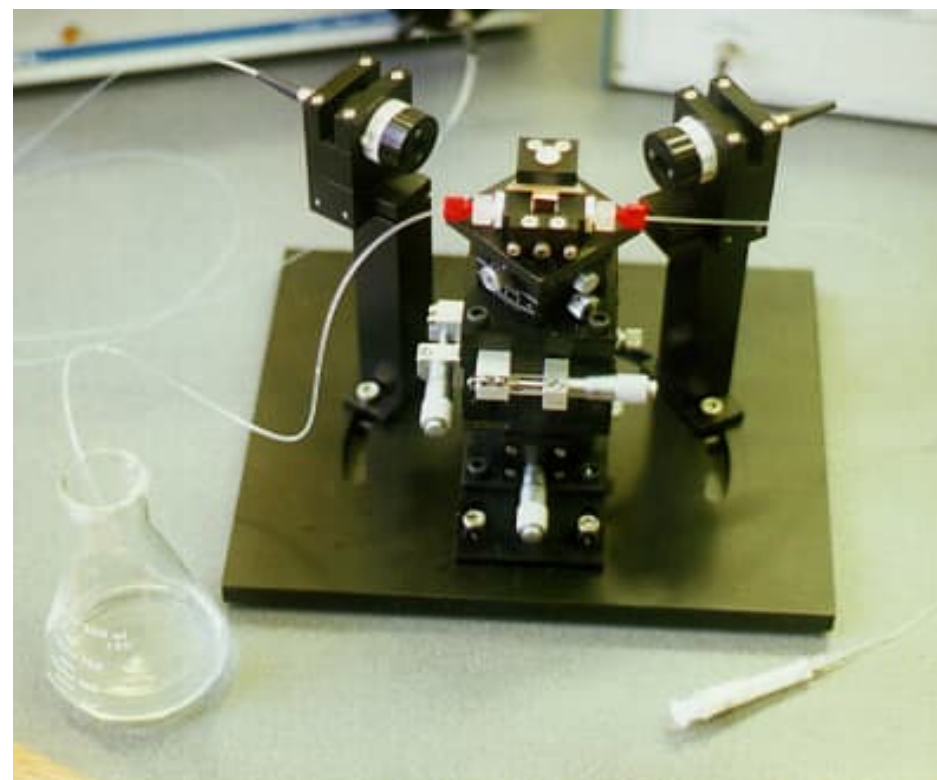


Rozlišení změn indexu lomu
menších než 1.2×10^{-6}

Objemové senzory s PP



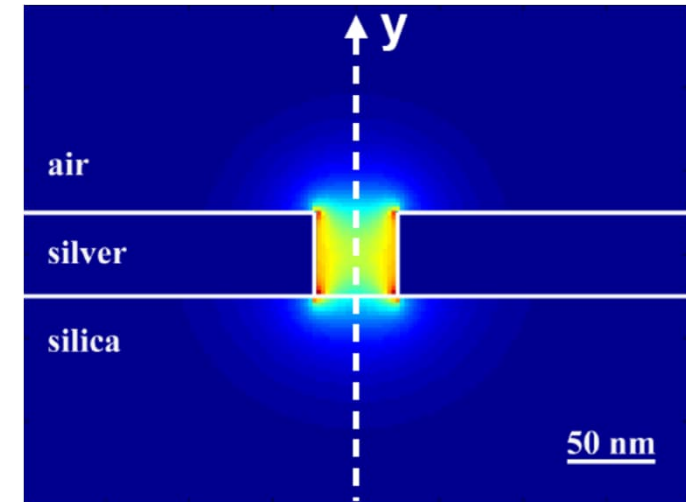
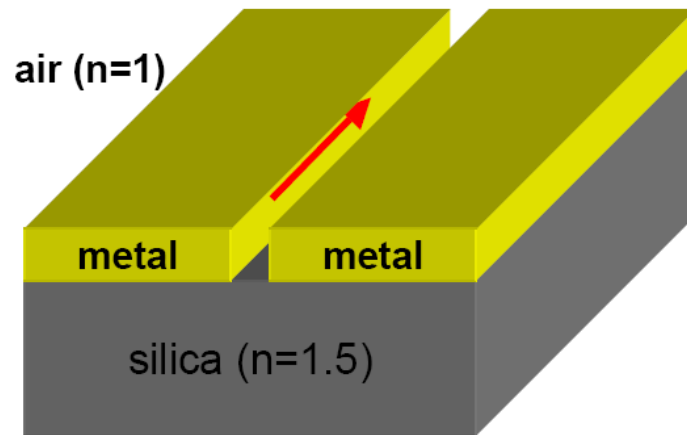
Rozlišení změn indexu lomu
menších než 5×10^{-7}



„Plazmonika“

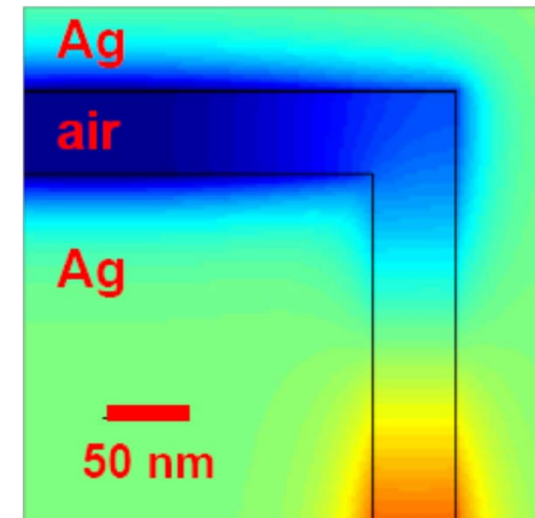
(„fotonika“ využívající šíření povrchových plazmonů)

2D vedení povrchového plazmonu



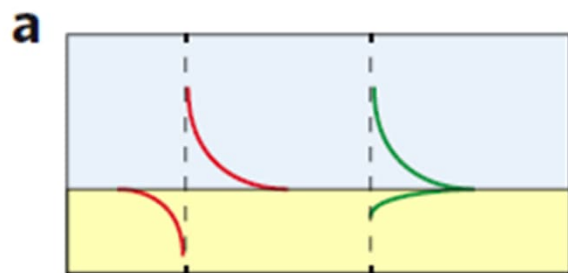
SP umožňuje lokalizovat optické záření ve velmi malém objemu,
Silný útlum v důsledku „ohmických“ ztrát v kovovém materiálu umožňuje šíření jen na vzdálenosti řádu 1-100 μm

90° ohyb

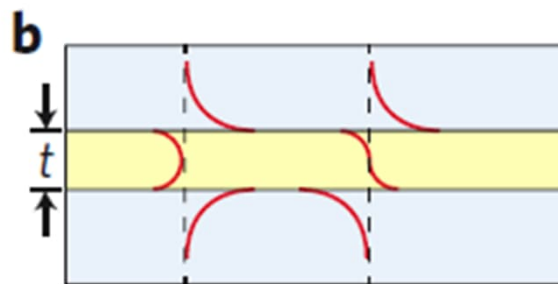


PLAZMONICKÉ VLNOVODY

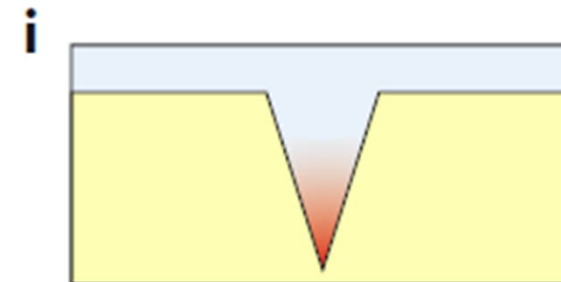
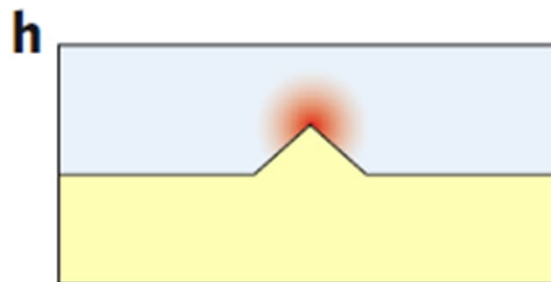
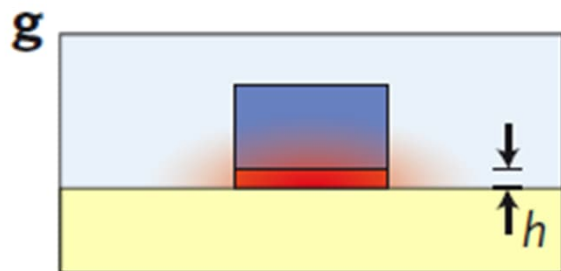
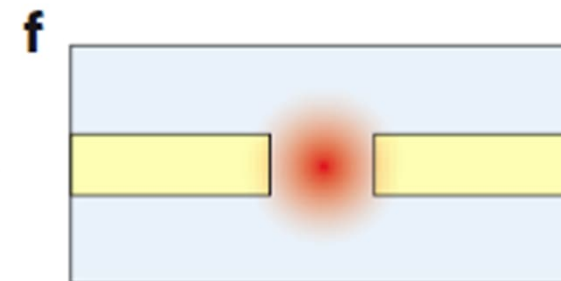
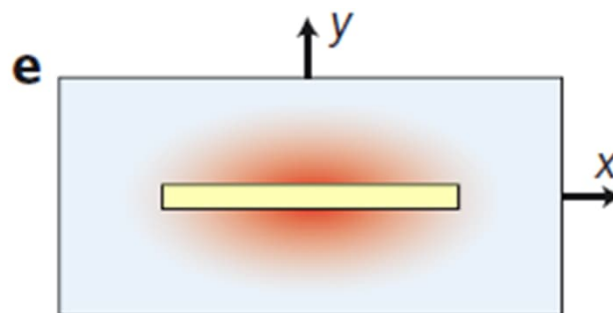
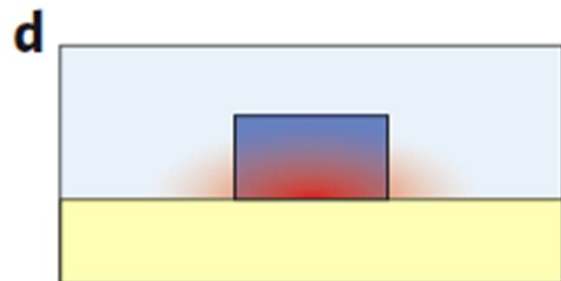
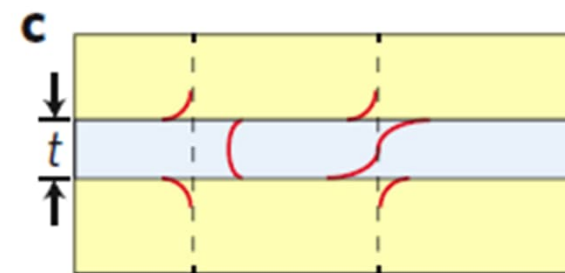
Metal–dielectric interface



IMI (metal film) structure



MIM structures

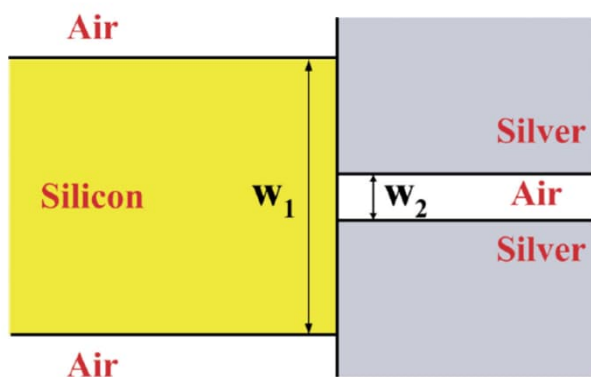


Low-index hybrid

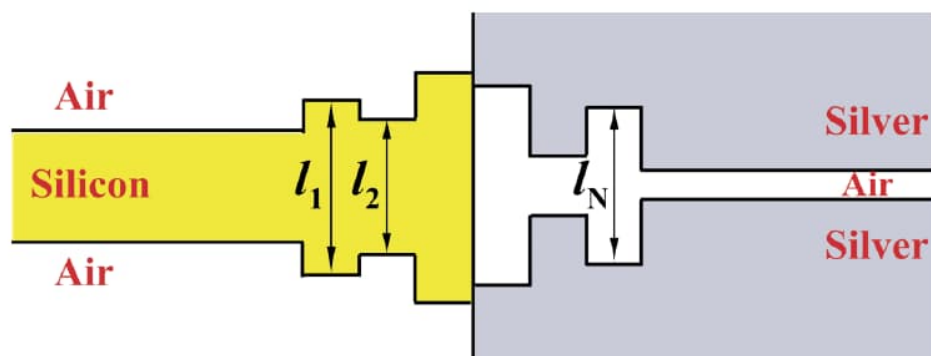
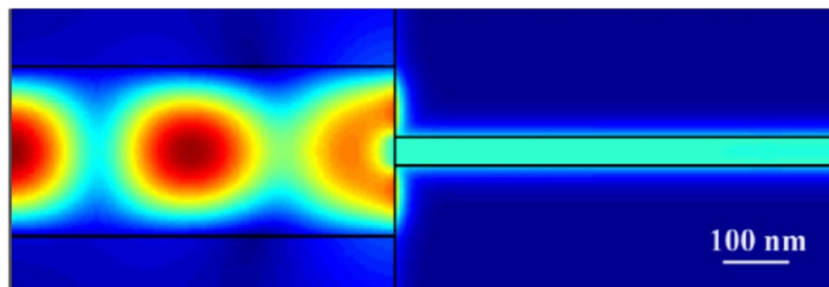
Wedge

Channel (groove)

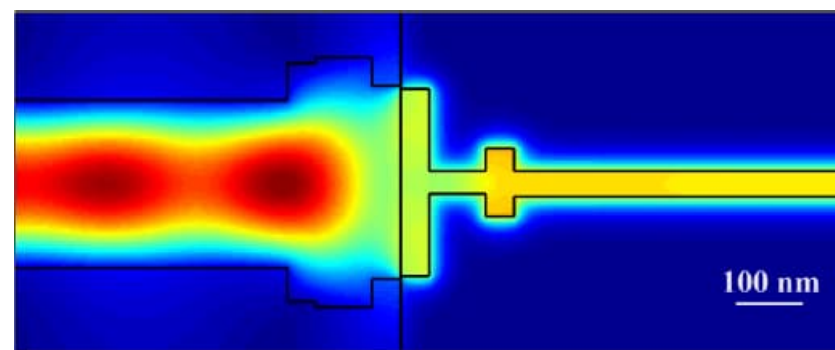
Přechod mezi vlnovodem SOI a plazmonovým vlnovodem



Účinnost vazby cca 64%



Účinnost vazby cca 90%



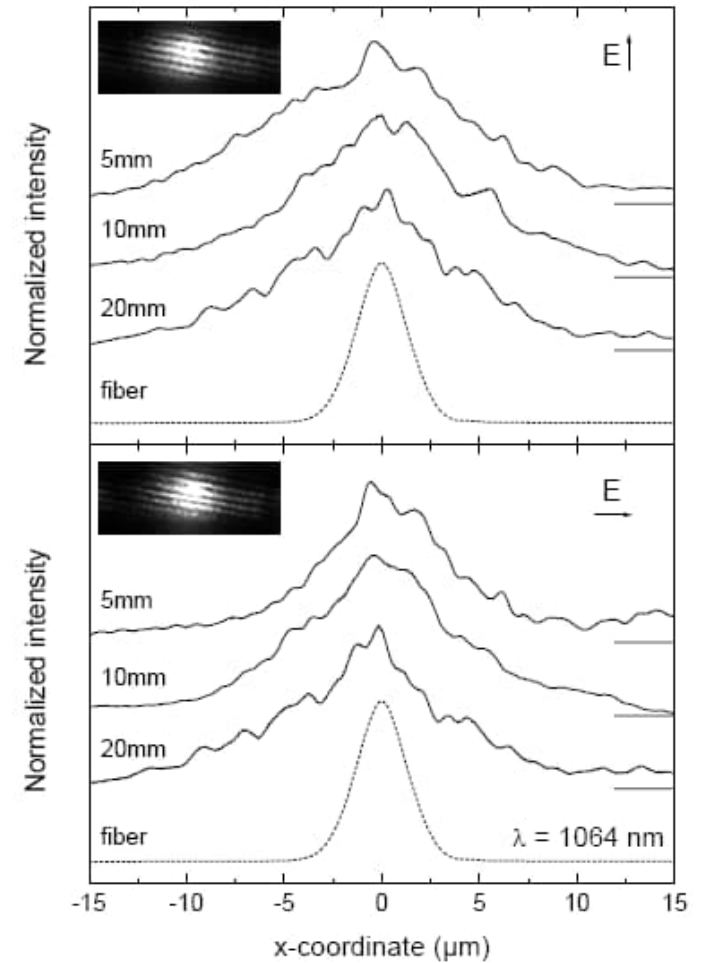
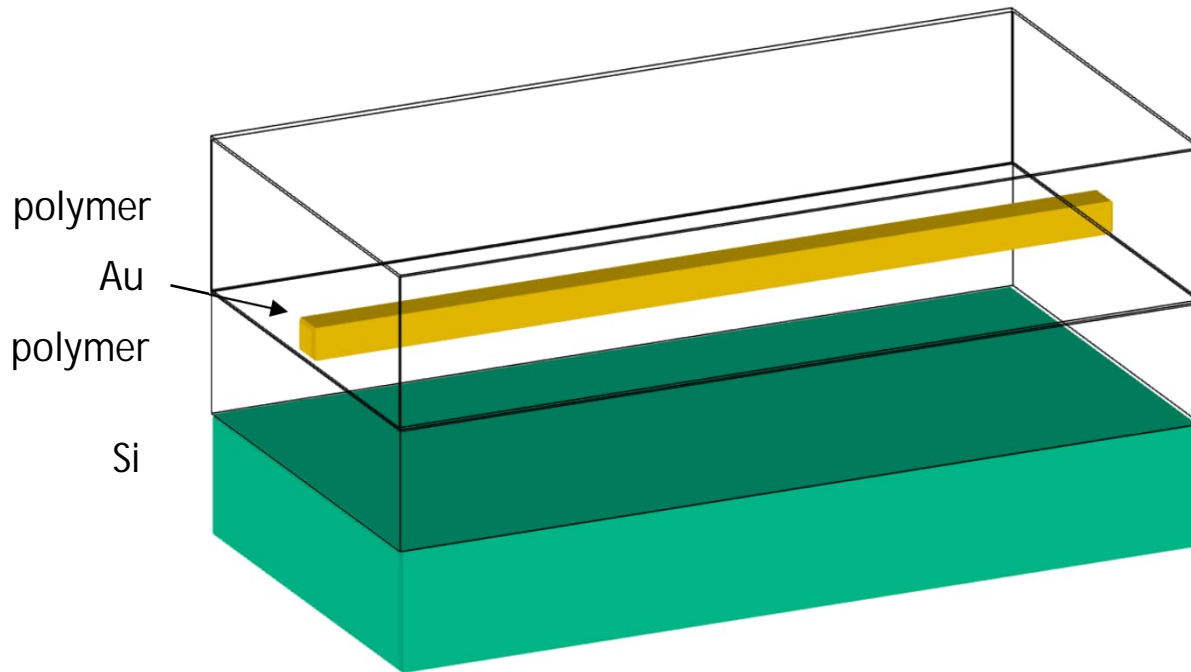
G. Veronis, S. Fan, OWTNM 2006, p. 12
(Stanford university)

„Zlatý nanodráť“ jako vlnovod pro povrchové plazmony

(T. Rosenzveig, ECIO 2007)

Průřez „nanodráty“
100×100 nm,

útlum 4.3 dB/cm



Rozložení blízkého pole
„plazmonů dalekého dosahu“

„Vlnovod“ tvořený řadou kovových nanočástic – vázané lokalizované plazmony

(S.A.Maier, ECIO 2007)

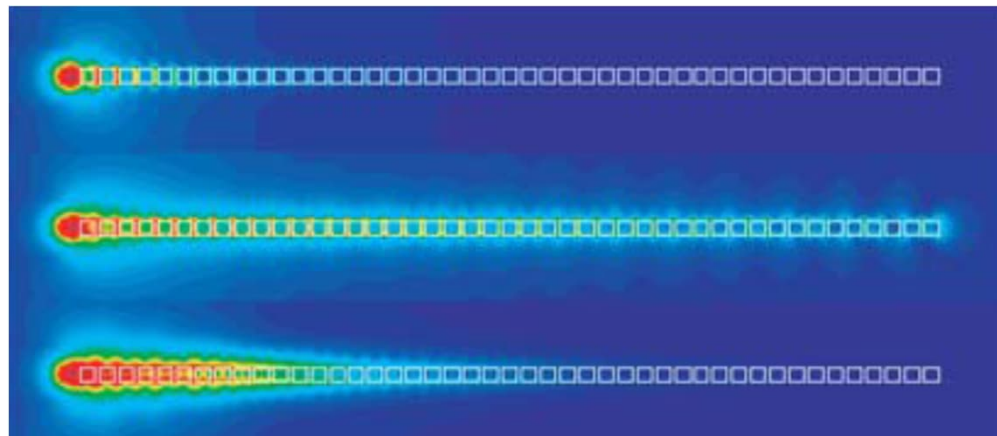
„Řetízek“ Au krychliček o straně 45 nm vzdálených od sebe 20 nm

Excitační vlnová délka

500 nm

429 nm

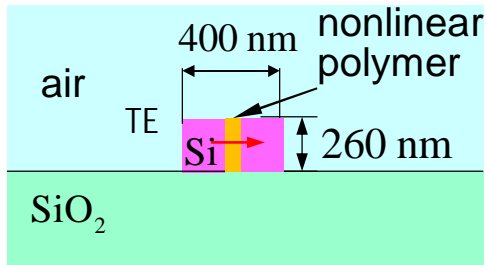
390 nm



Na vlnové délce 429 je „překlenutelná vzdálenost“
pro pokles výkonu na $1/e^2$ celkem 2,2 mm
(útlum cca 40 dB/cm)

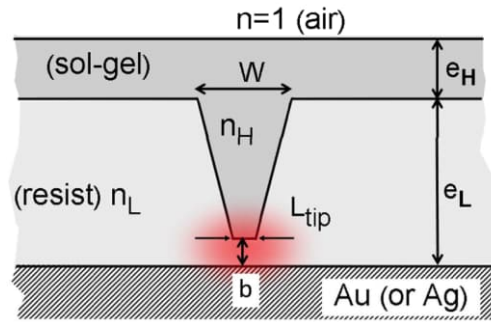
Nové typy plazmonických vlnovodů

SOI "slot waveguide"



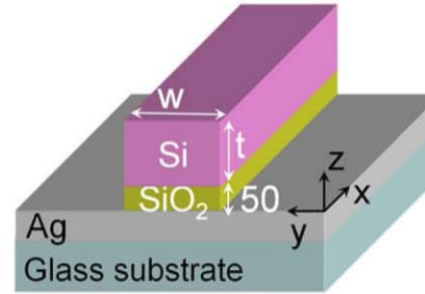
C. Koos & al., *Nat. Photonics* 3(4), 16–219 (2009)

PIROW – plasmonic inverted rib optical waveguide



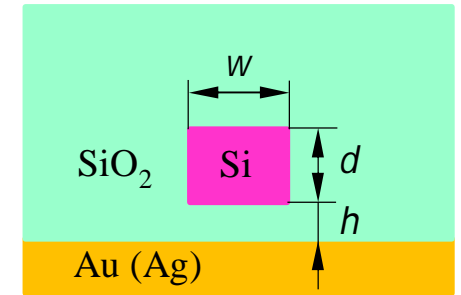
H. Benisty and M. Besbes, *J. Appl. Phys.* 108(6), 063108 (2010).

??

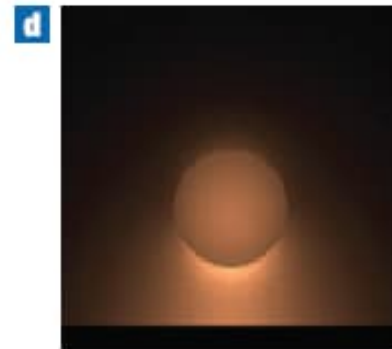
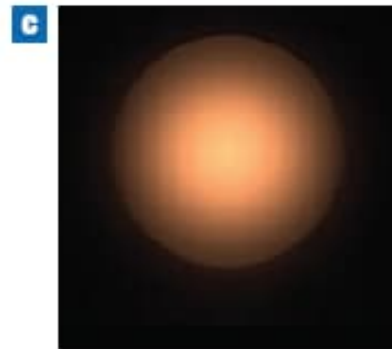
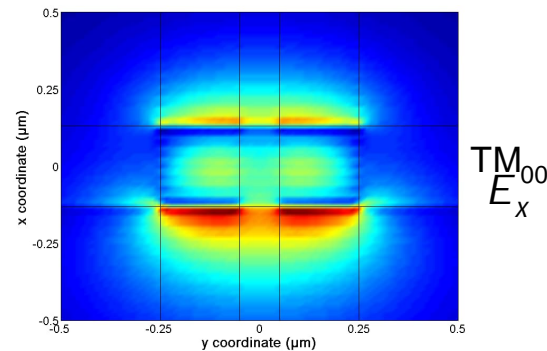
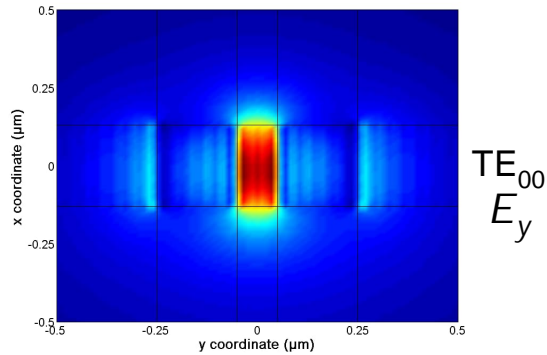


H.-S. Chu & al., *J. Opt. Soc. Am. B* 28(12), 2895 (2011) (others, too)

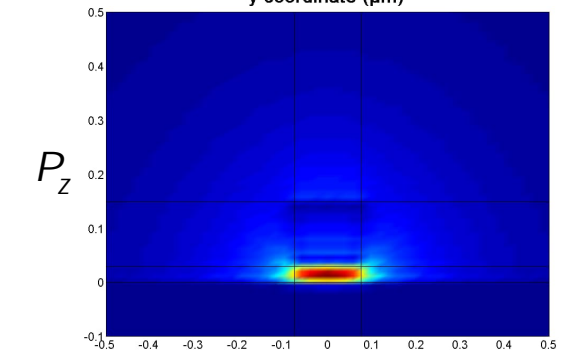
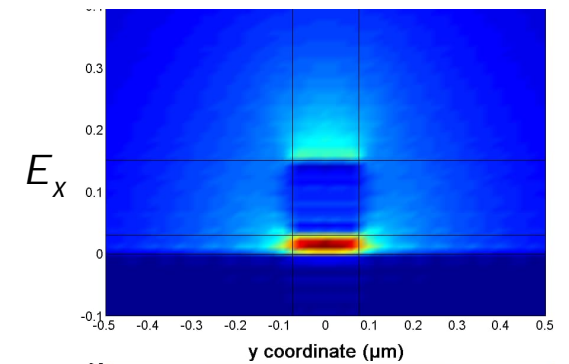
Hybrid dielectric-plasmonic slot waveguide (HDPBW)



R. F. Oulton & al., *New J. Phys.* 10, 105018 (2008)

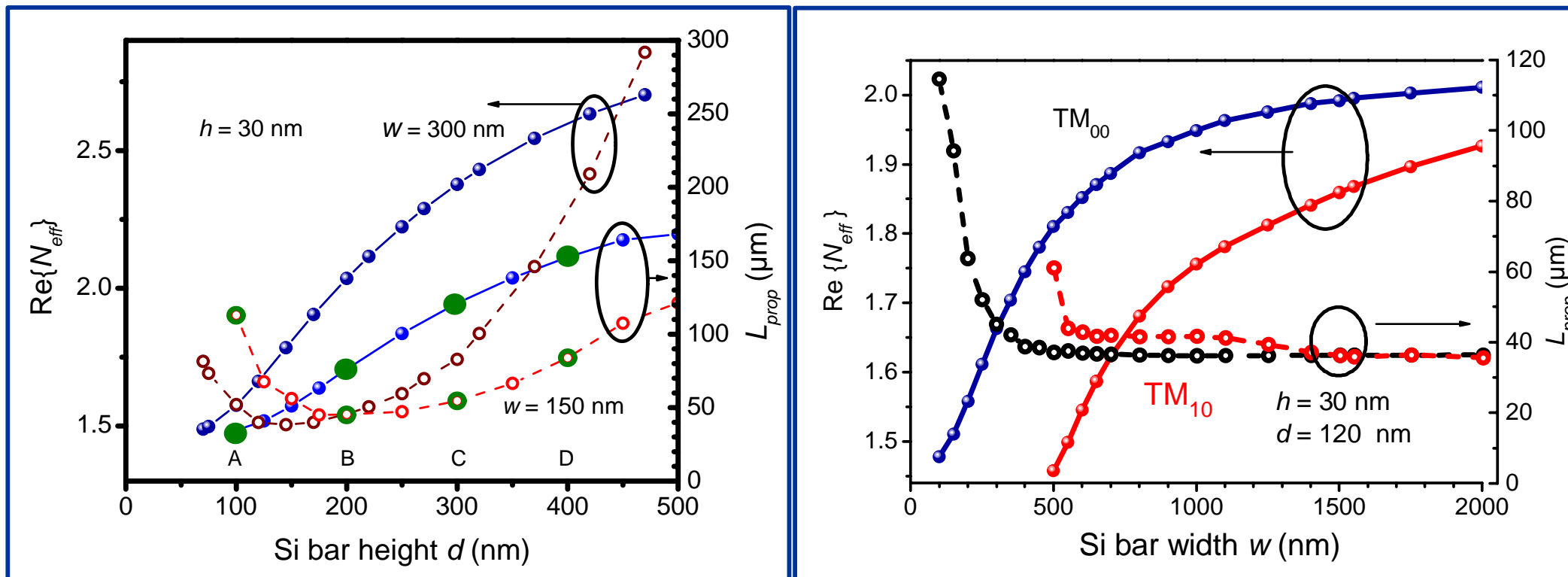


R. F. Oulton & al., *Nat. Photonics* 2, 496 (2008);



Hybrid dielectric-plasmonic slot waveguide

Influence of basic geometric parameters



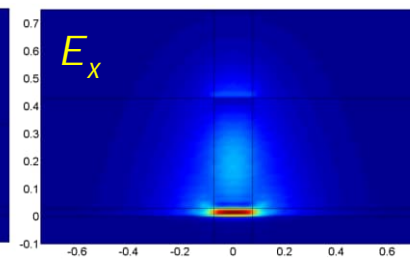
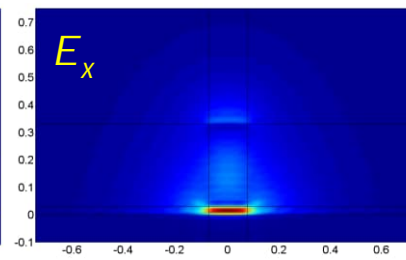
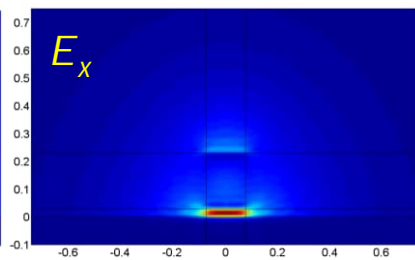
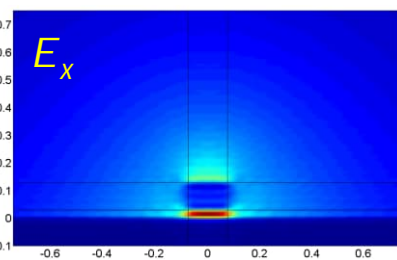
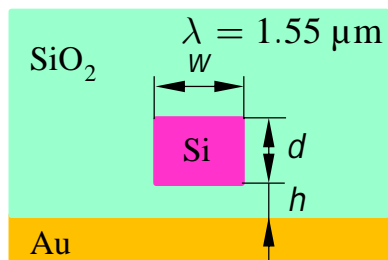
$w = 150$ nm

A: $d = 100$ nm

B: $d = 200$ nm

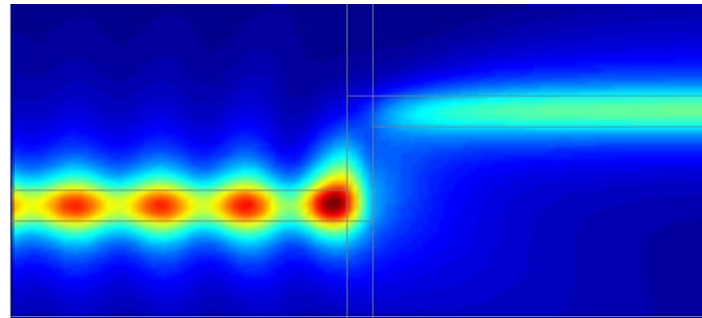
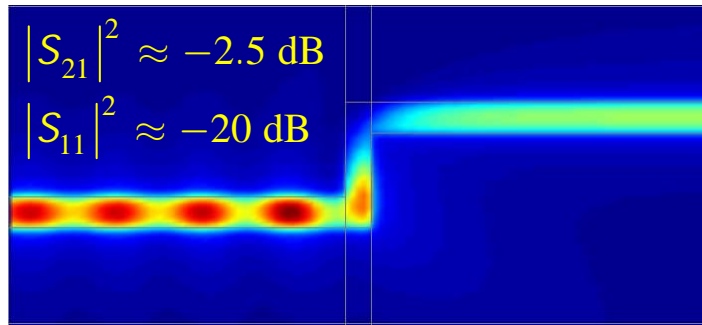
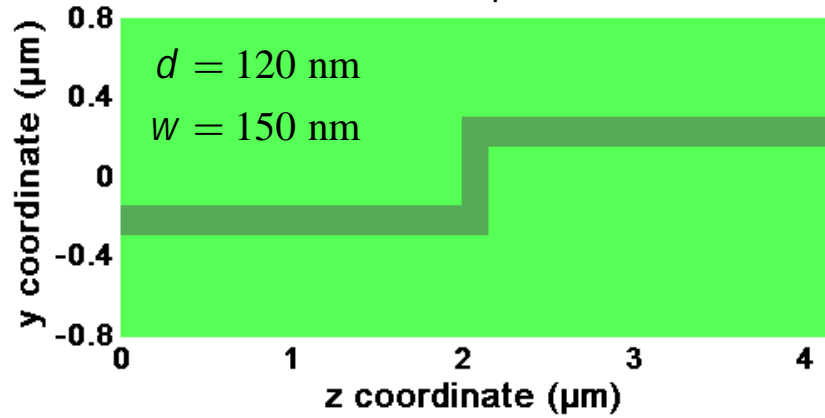
C: $d = 300$ nm

D: $d = 400$ nm

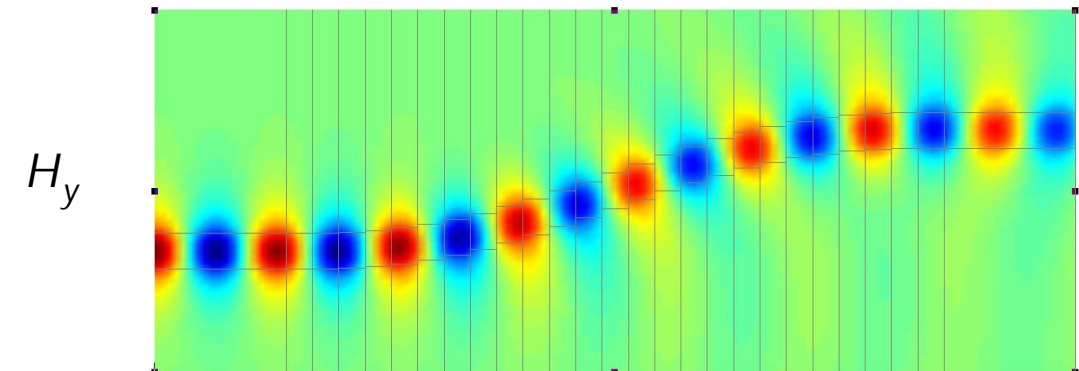
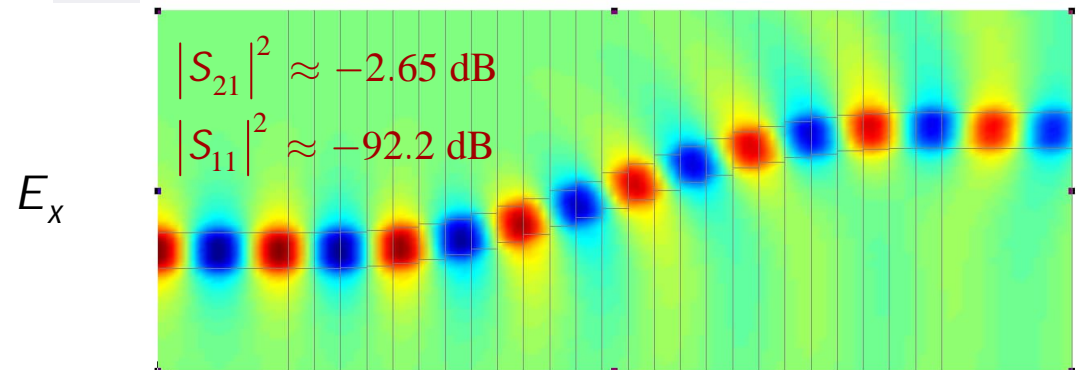
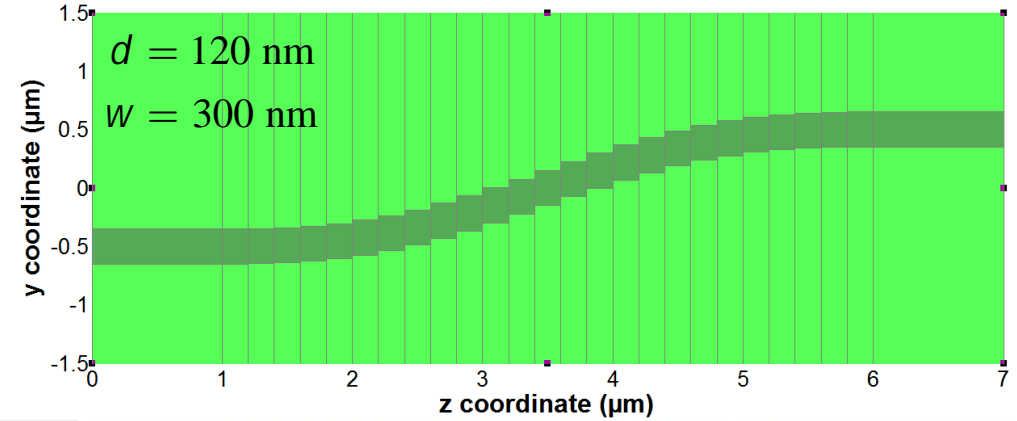


HDPSW DEVICES

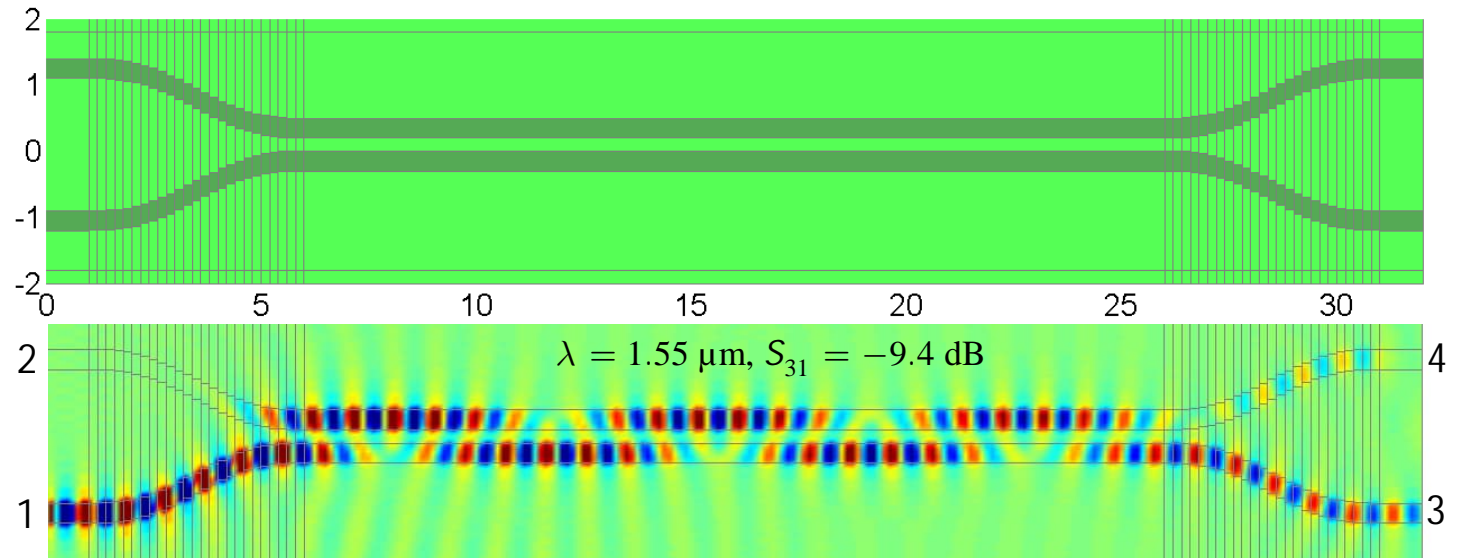
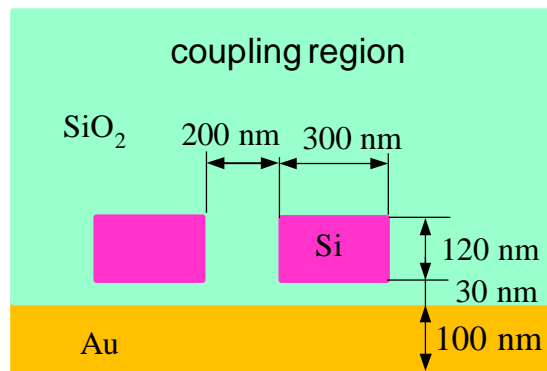
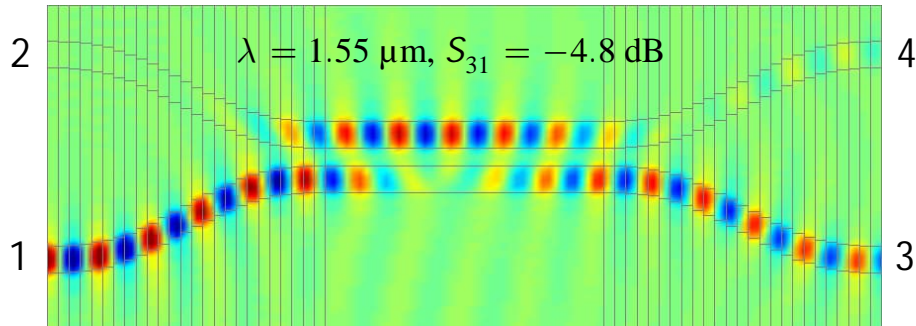
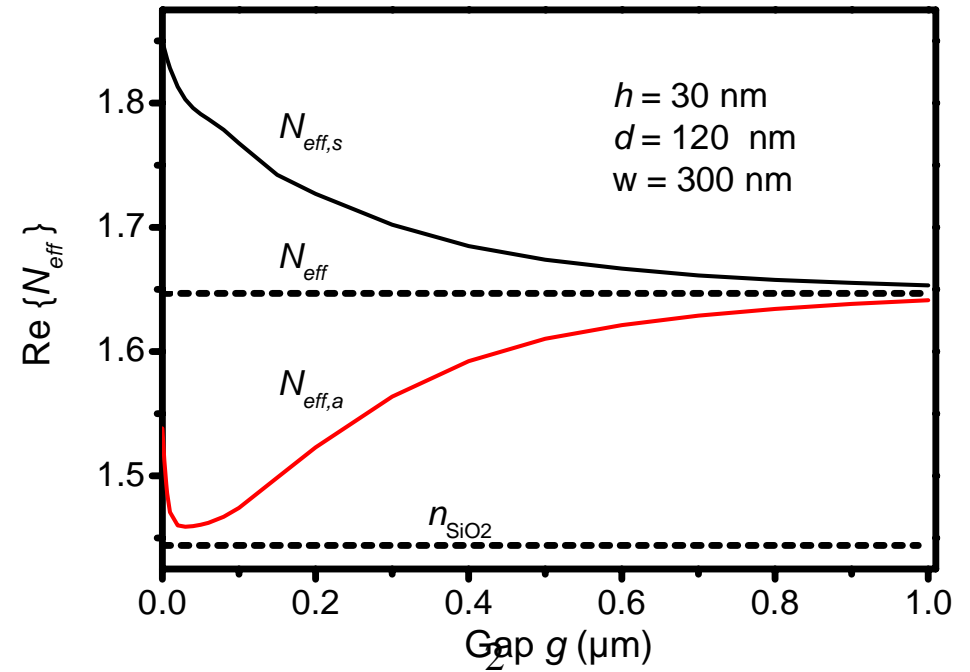
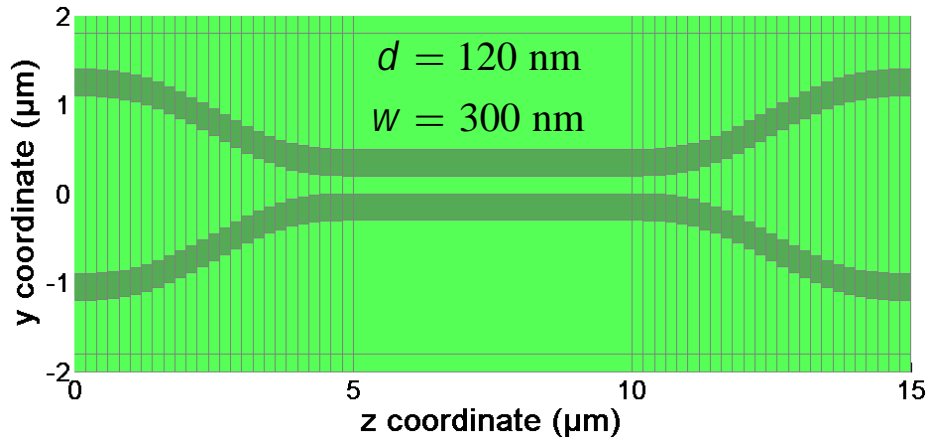
HDPSW sharp S bend



HDPSW smooth S bend

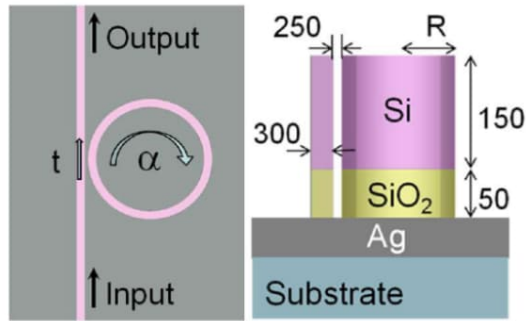


DIRECTIONAL COUPLER

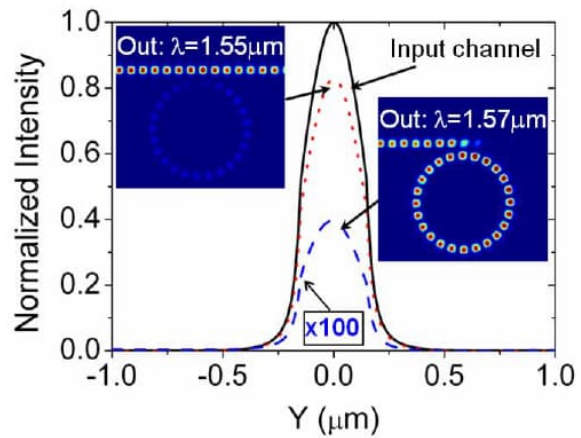
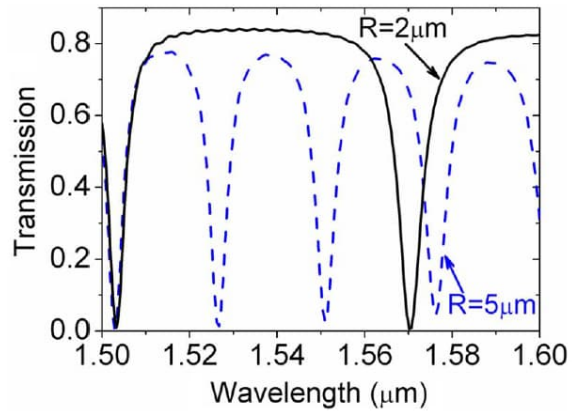


RING MICRORESONATOR

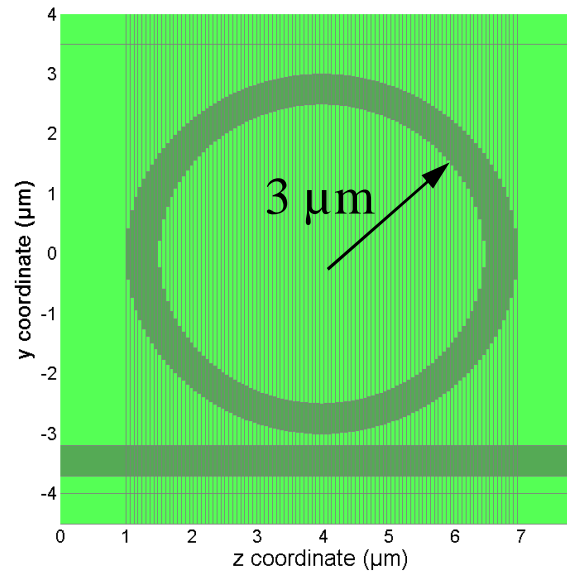
H.S. Chu et al., JOSA B 28, 2895 (2011)



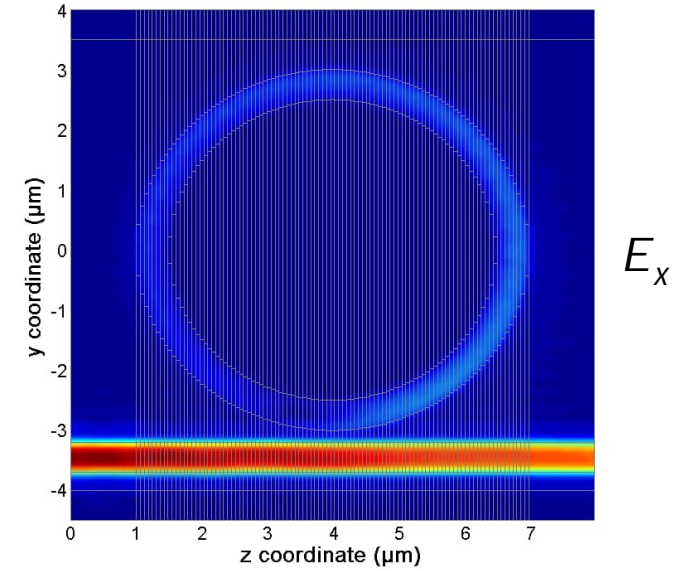
??



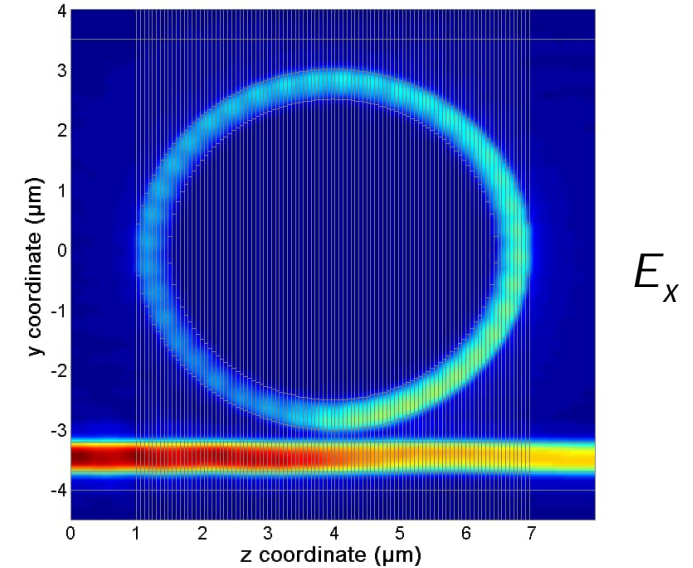
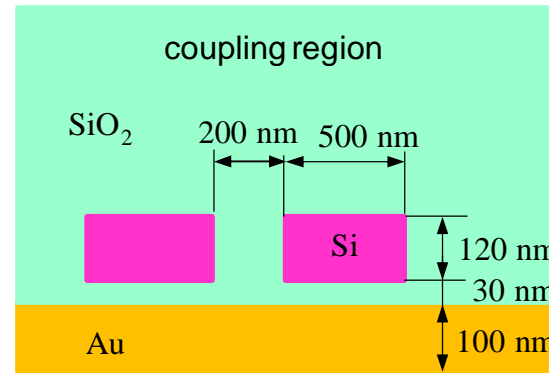
Present work



Off-resonance: $\lambda = 1.55 \mu\text{m}$, $S_{21} = -2 \text{ dB}$

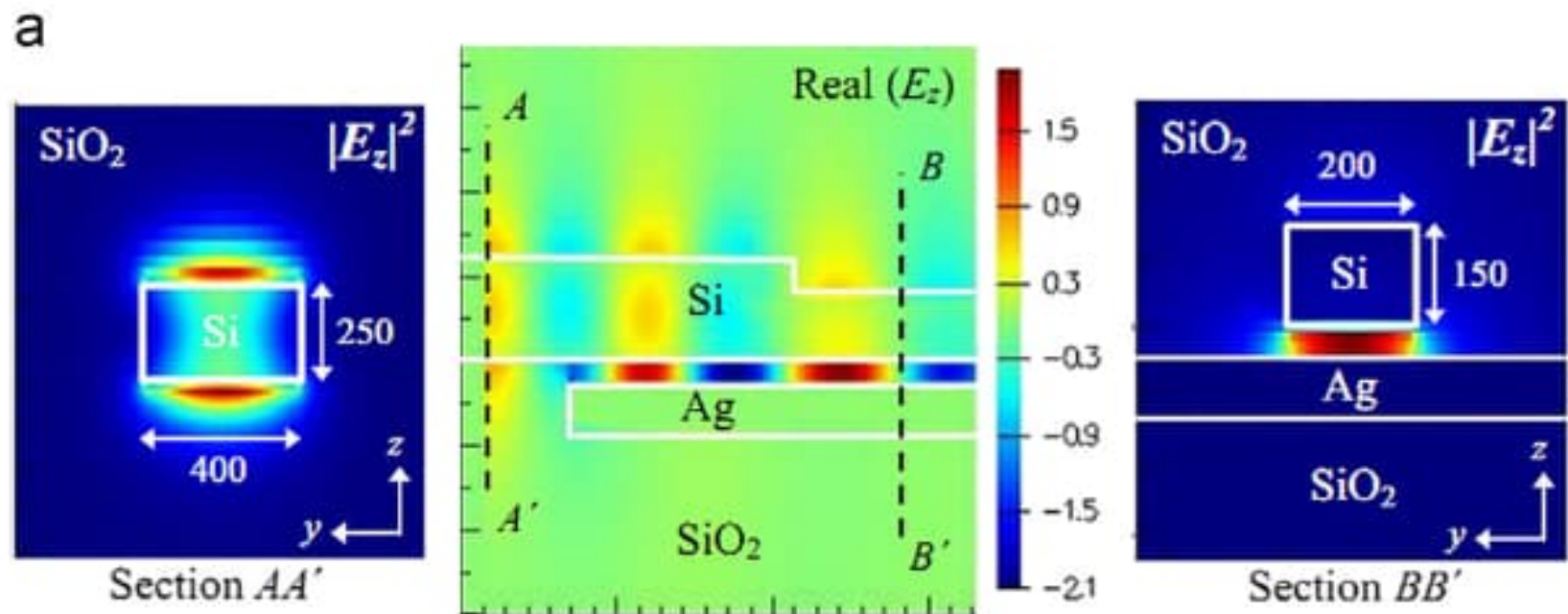
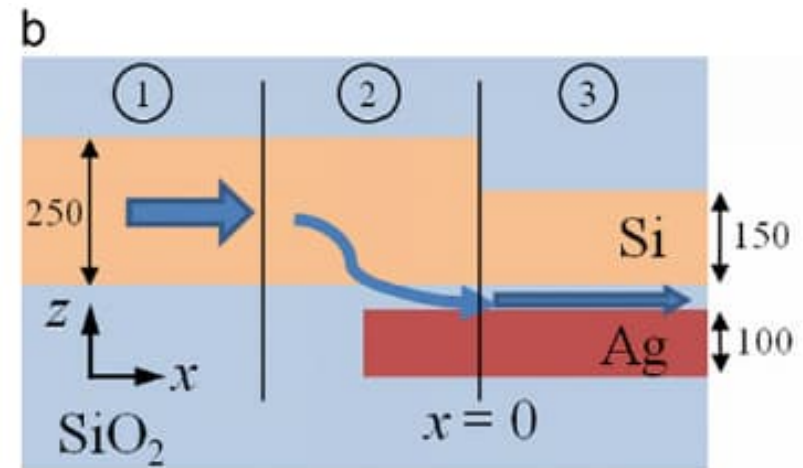
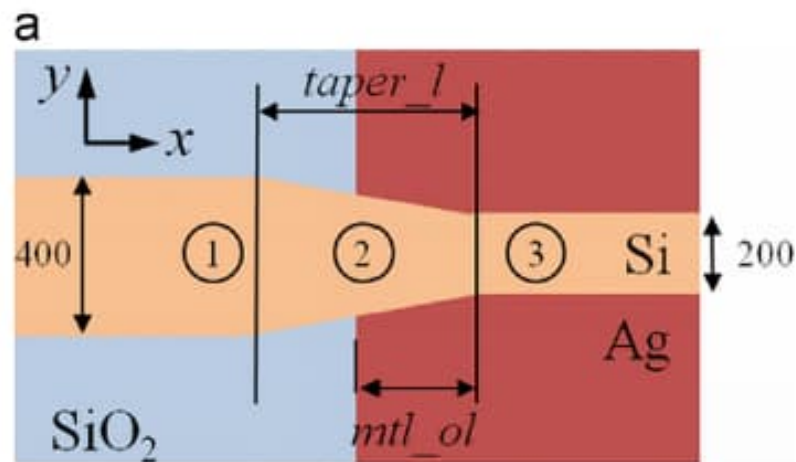


\approx On-resonance: $\lambda = 1.57 \mu\text{m}$, $S_{21} = -4 \text{ dB}$



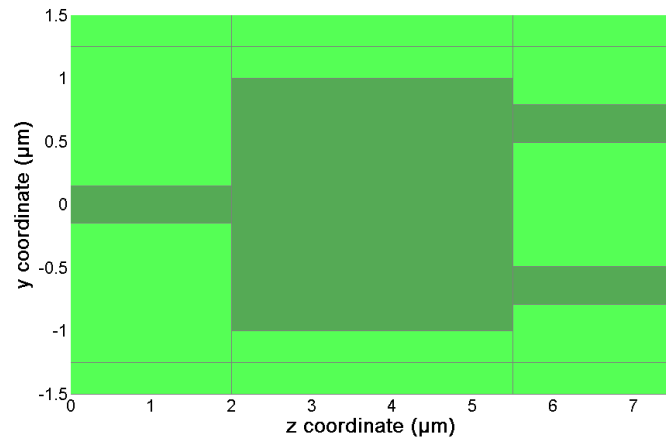
VAZBA MEZI SOI NANODRÁTEM A HDPSW

R. Mote et al., *Optics Communications* 285 (2012) 3709–3713

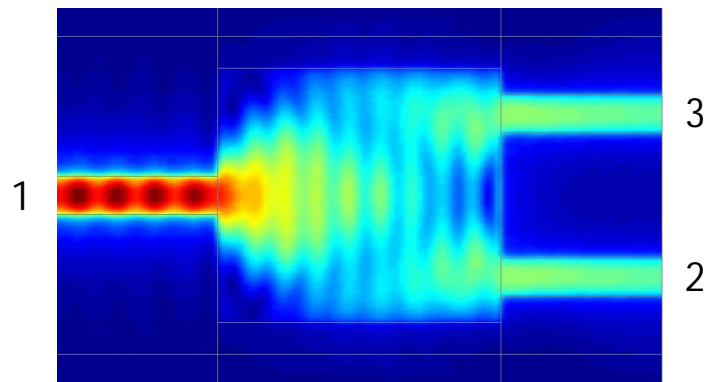
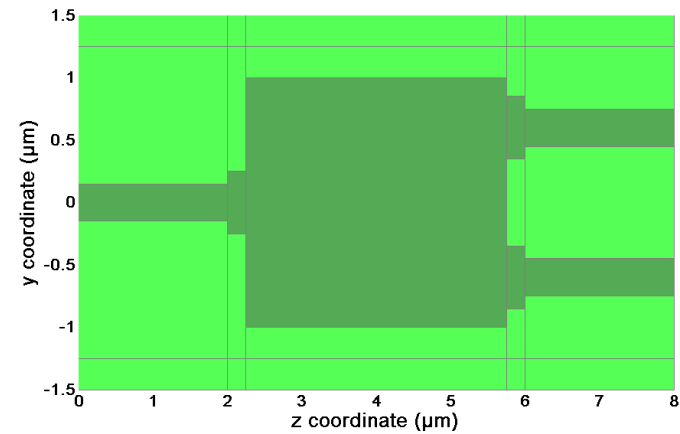


MULTIMODE INTERFERENCE COUPLER

1x2 MMI – simple configuration

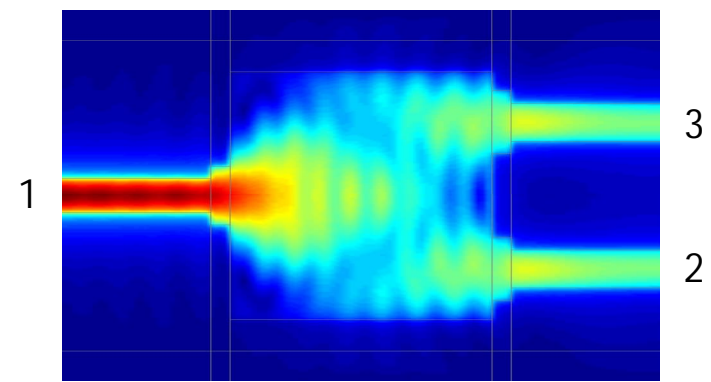


1x2 MMI – improved configuration



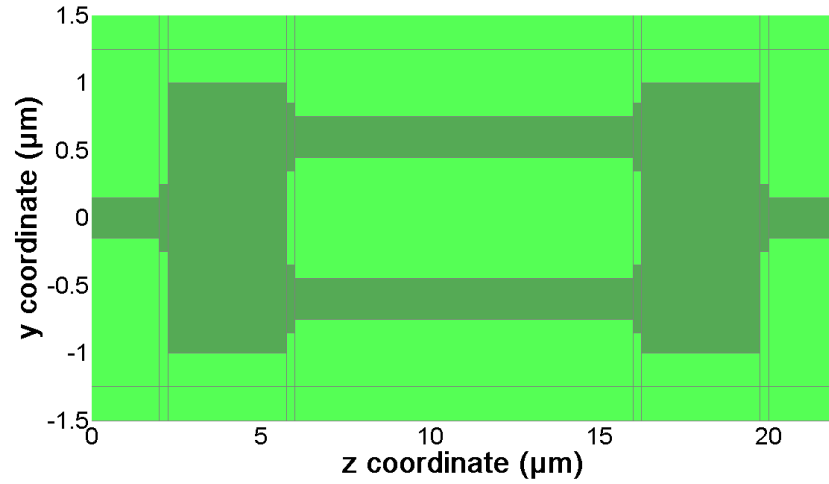
$$S_{11} = -24 \text{ dB},$$
$$S_{21} = -6 \text{ dB}$$

E_x

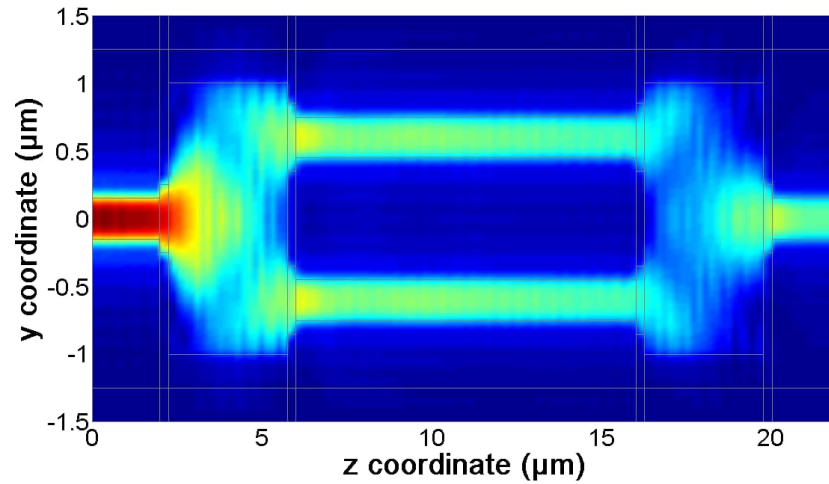


$$S_{11} = -51 \text{ dB},$$
$$S_{21} = -5.5 \text{ dB}$$

MACH-ZEHNDER INTERFEROMETER

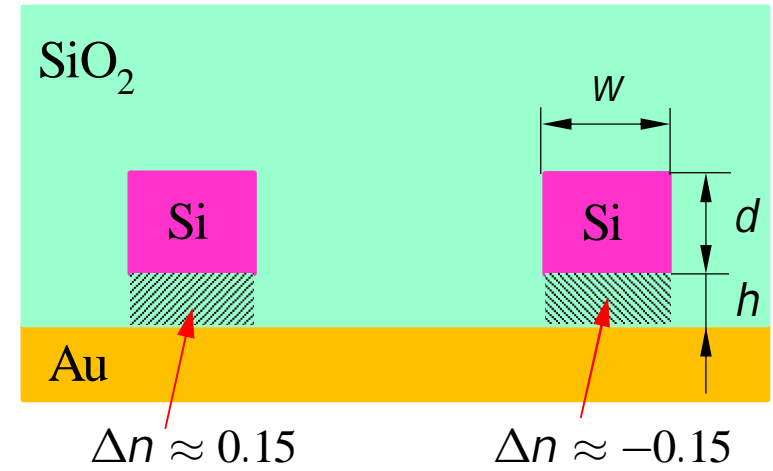


"On" state

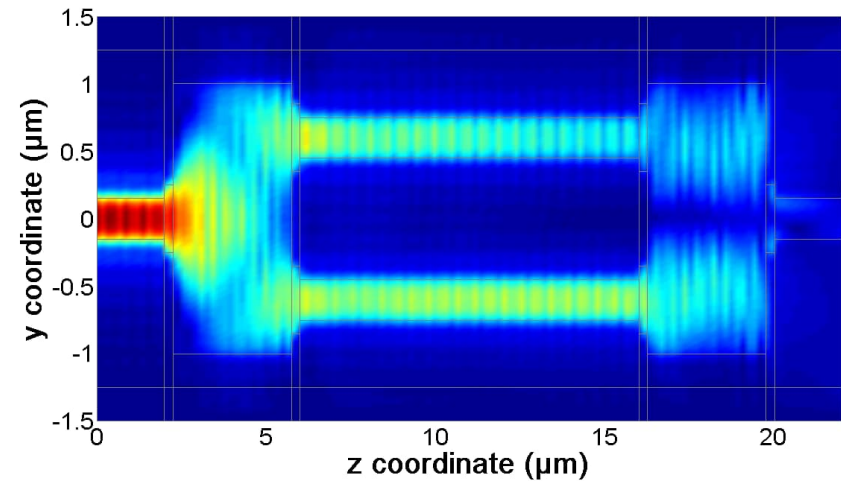


$$S_{11} = -37 \text{ dB}$$

$$S_{21} = -6 \text{ dB}$$



"Off" state

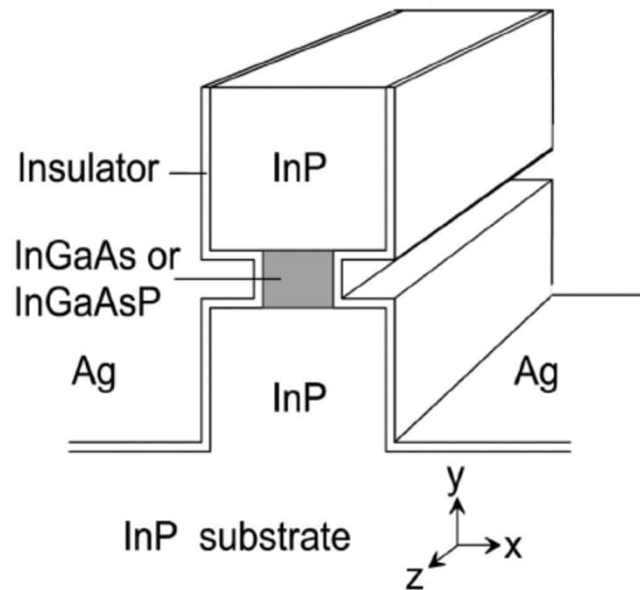


$$S_{11} = -25 \text{ dB}$$

$$S_{21} = -21 \text{ dB}$$

Koncept „plazmonového polovodičového laseru“

(M. Hill, ECIO 2007)



Rozměry aktivní oblasti laseru
 $26 \times 26 \times 82 \text{ nm}$

